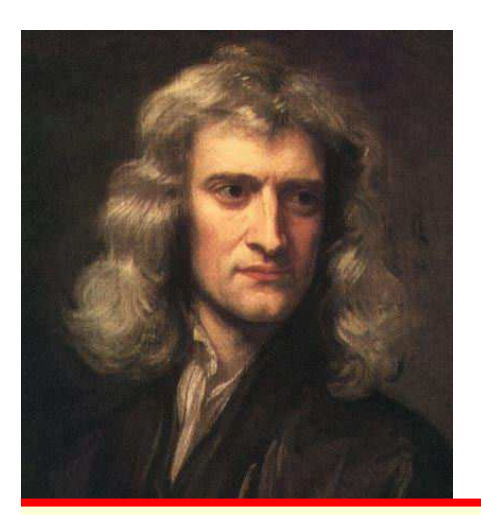
Fisica Moderna: micro e macro-cosmo tra XIX e XX secolo

L. Martina 2/02/2016

Dipartimento di Matematica e Fisica «Ennio De Giorgi» Università del Salento Sezione INFN - Lecce



Newton vs Maxwell



Materia - Corpuscoli

- 1. Ogni corpo preserva lo stato di quiete o di moto rettilineo uniforme, a meno che non intervengano FORZE (principio d'inerzia)
- 2. La variazione del moto (accelerazione) è proporzionale alla forza impressa $m\ddot{a} = F$
- 3. Le forze che due particelle esercitano reciprocamente l'una sull'altra sono

$$\vec{F}_{12} = -\vec{F}_{21}$$

4. Due masse esercitano reciprocamente la forza

$$\hat{F}_{12} = -G \frac{m_1 m_2}{r^2} r_{12}$$

Campi ElettroMagnetici Clerk Maxwell

1. Legge di Gauss (c. elettrico)

$$\Phi_{S_{chiusa}}(\vec{E}) = \frac{Q_{Tot. \ in \ S_{chiusa}}}{\text{Legge di Gauss (c. magnetico)}}$$

$$\Phi_{S_{chiusa}}(\vec{B}) = 0$$

$$\Phi_{S_{chiusa}}(B) = 0$$

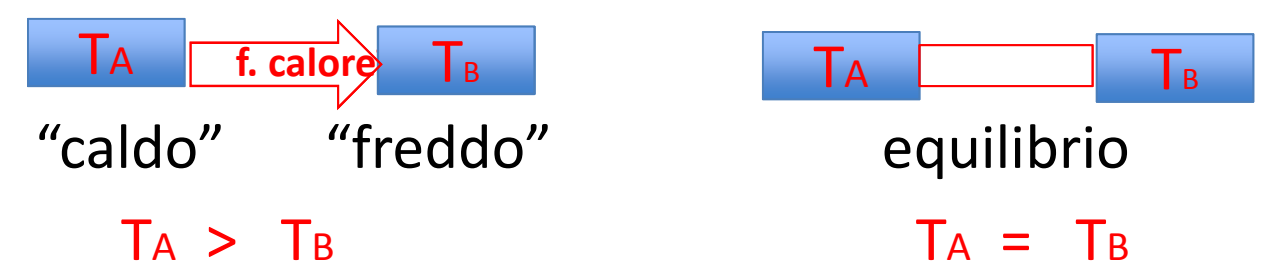
3. Legge dell' Induzione EM

$$\oint_{\gamma_1} \vec{E} \cdot d\vec{l} = -\frac{d \Phi_{S_{\gamma_1}}(B)}{dt}$$

4. Legge di Ampère - Maxwell $\oint_{\gamma_2} B \cdot dl = \mu_0 I_{S_{\gamma_2}} + \mathcal{E}_0 \frac{d}{dt} \Phi_{S_{\gamma_2}}$

Termodinamica - 1

Lavoro, Calore, Temperatura



- **Principio "0":** se i corpi A e B sono entrambi in equilibrio termico con un terzo corpo C, allora lo sono anche fra loro.
- Primo principio (<u>conservazione dell'energia</u>): la variazione di energia interna di un sistema è la somma algebrica del calore e del lavoro scambiati con l'ambiente

Termodinamica - 2

• **Secondo Principio:** in un ciclo termodinamico

Tc

(Kelvin - Planck) e' impossibile convertire completamente

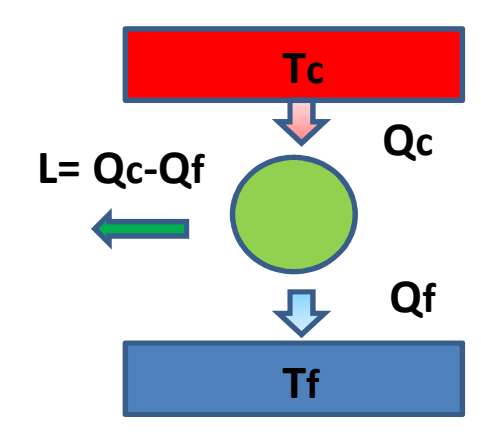
in **lavoro** il **calore** assorbito dal serbatoio "caldo"

Tf

•Q (Clausius) e' impossibile far passare **spontaneamente** il **calore** dal serbatoio "freddo" a quello"caldo"

L= Qc-Qf
Qf
Qf
Tf

$$\eta = \frac{L}{Q_c} = 1 - \frac{Q_f}{Q_c}$$
Rendimento di una macchina termica



ENTROPIA

Ciclo di Carnot Tr. reversibile

$$\eta = 1 - \frac{Q_f}{Q_c} \le \eta_C = 1 - \frac{T_f}{T_c}$$

$$\frac{-Q_f}{T} + \frac{Q_c}{T} \le 0$$

$$= 0$$

Tr. reversibile

 $S(B) \ge S(A)$

$$\oint_{ciclo} \frac{\delta Q}{T} \le 0$$

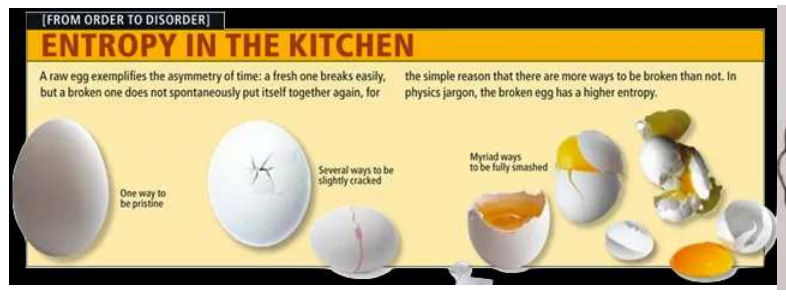
$$\int_{A}^{B} \frac{\delta Q}{T} \le \int_{A_{reversibile}}^{B} \frac{\delta Q}{T} = S(B) - S(A)$$

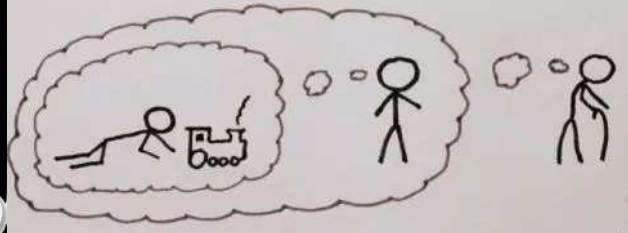
ENTROPIA

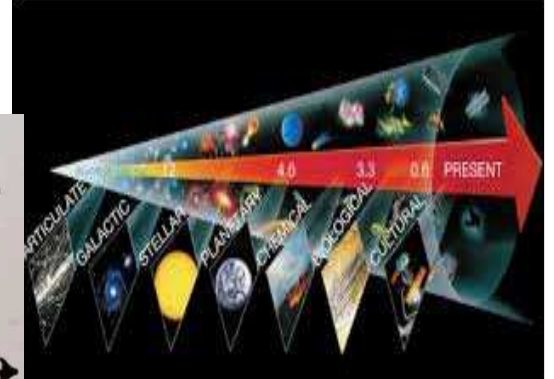
nei sistemi isolati l'<mark>entropia</mark>

è una funzione non decrescente delle variabili di stato

Freccia del TEMPO

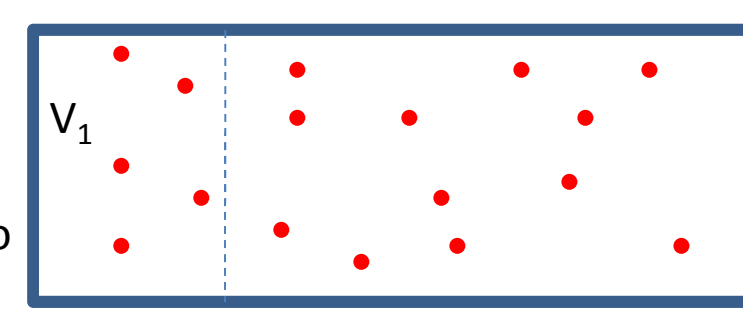






Termodinamica e Statistica

Gas ideale costituito da N molecole all'equilibrio termico



Probabilita' per la singola molecola di trovarsi in V₁

Probabilita' per n molecole di trovarsi in V₁ e N-n all'esterno

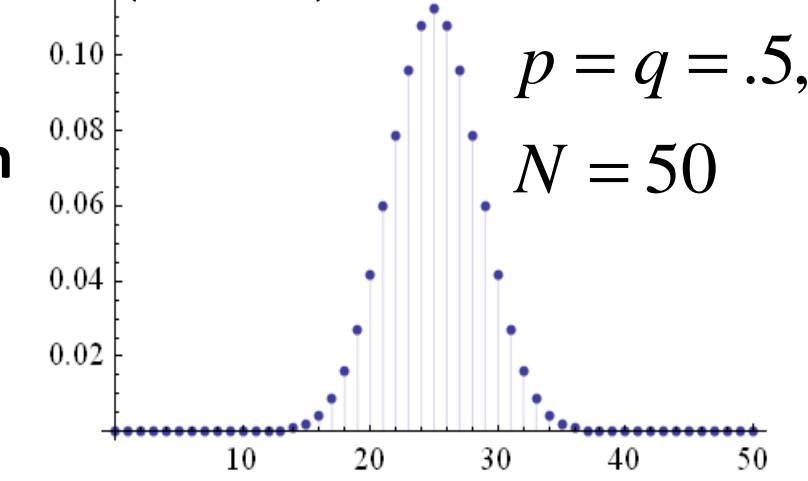
$$p = \frac{V_1}{V_0}, \qquad q = \frac{V_0 - V_1}{V_0}$$

$$P(n) = \frac{N!}{n!(N-n)!} p^n q^{N-n}$$

$$S = k \ln P$$

Principio di Boltzmann

Il sistema **tende** al macrostato di <u>massima entropia</u>, cioe' a quello che possiede il <u>numero massimo di</u> <u>microstati</u>



L'ipotesi Atomistica

- 1. <u>D. Bernoulli</u> (1738) teoria cinetica dei gas,
- 2. <u>J. Dalton</u> (New System of Chemical Philosophy, 1808), legge delle proporzioni multiple, principi elementari, atomi della stessa specie (molecole),
- 3. <u>J.-L. Gay-Lussac</u> (1809), legge sui volumi di combinazione dei gas,
- 4. A. Avogadro (1811):
 - 1. I gas sono formati da molecole integranti, costituite a loro volta da una, due o più molecole elementari: gli atomi
 - a temperatura, volume e pressione uguali, gas diversi contengono lo stesso numero di molecole
- 5. Congr. dei Chimici, Karlsruhe (1860): definizione di molecola e di atomo (disaccordo)
- 6. <u>J.C. Maxwell</u>: "Benche' nel corso dei tempi si siano verivicate catastrofi ... le molecole...continuano ad esistere oggi esattamente come vennero create: perfette in numero, misura e peso " (1873)
- 7. <u>W. Thomson</u>: " E' un fatto assodato che un gas consista di molecole in movimento Il diametro di una molecola di gas non puo' essere inferiore a 2 x 10⁻⁹ cm ." (1870)
- 8. <u>L. Boltzmann</u>: "...dare una dimostrazione del tutto generale della II legge della teoria del calore, come scoprire il teorema meccanico ad essa corrispondente." (1866)

"I problemi della teoria meccanica del calore sono problemi di teoria della probabilita'" (1871)

Anti-atomisti

M. Planck: "La piena validita' del II principio ... e' incompatibile con l'ipotesi di atomi finiti" (1883)

W. Ostwald: "L'asserzione che tutti i fenomeni ... sono riducibili a fenomeni meccanici ...e' sbagliata. Tutte le equazioni della meccanica ammettono l'inversione temporale ... Quindi ... un albero potrebbe diventare di nuovo germoglio e seme, una farfalla bruco e un vecchio bambino."

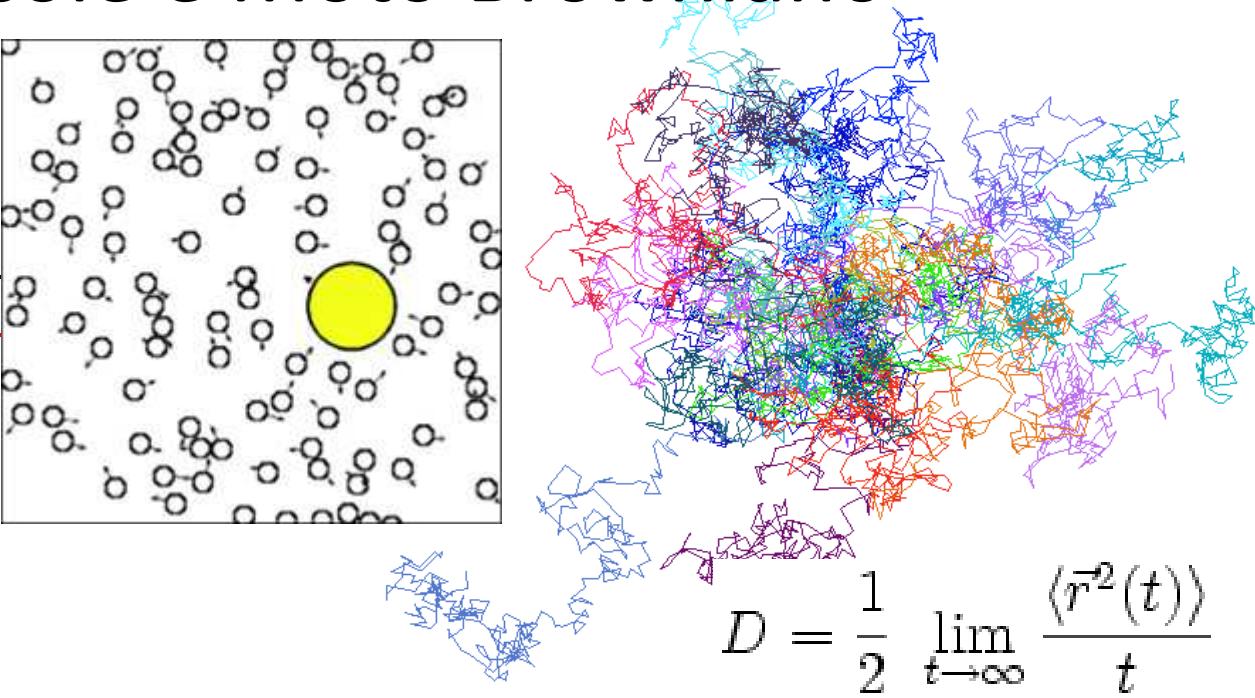
E. Mach: "Non e' confacente alla fisica considerare mutevoli strumenti, quali molecole e atomi, alla stregua di realta' sottostanti ai fenomeni." (1895)

Molecole e Moto Browniano

In questo articolo dovremo
mostrare che ... particelle di
dimensioni visibili al microscopio
sospese in un fluido, in seguito a
moto molecolare del calore
possono descrivere moti
osservabili.

A. Einstein, Ann. d. Phys., 17 (1905) 549

$$D = \frac{RT}{N_A} \frac{1}{6\pi \eta \underline{d}}$$

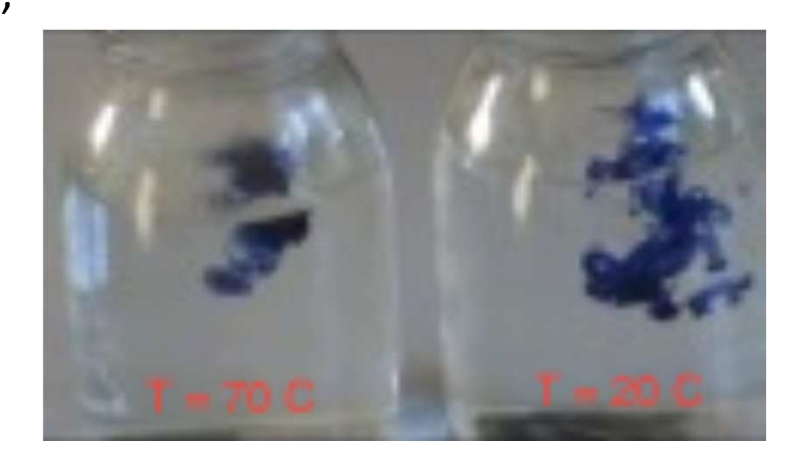


Coefficiente di diffusione

N_A = **Numero di Avogadro**

d = raggio della particella

 η = coeff. di viscosita'



Ipotesi di Einstein

- 1. Le particelle sospese sono sfere e sono rarefatte nel solvente
- 2. Per le particelle in sospensione all'equilibrio termico valgono le leggi per di 't Hoff delle soluzioni (gas):

$$pV = nRT$$

- 3. Le particelle sospese sono grandi rispetto alle caratteristiche del solvente (continuo)
- 4. Si trascurano i moti rotatori delle sfere
- Le particelle sospese sono soggette ad una forza di attrito di tipo viscoso dovuto al fluido con coefficiente di viscosita' corretto dato da

sperimentale
$$\eta^*/\eta = 1 + \frac{5}{2}\varphi$$
, $\varphi = \frac{N_A \rho}{m} \frac{4\pi}{3} d^3$ Frazione di volume occupato dalle sfere

Derivazione di Einstein

Forza / (unita' di volume)

$$F = \frac{K\rho N_A}{m} \times K$$

K (ausiliaria) agisce solo sul soluto

$$F = \frac{K\rho N_A}{m} \times K$$

All'equilibrio termico

$$F = \frac{K\rho N_A}{m} \times K$$

Legge di Stokes per l'attrito viscoso

$$F_{visc} = 6\pi \, \eta \, d \, v$$

All'equilibrio dinamico

$$F_{visc} \equiv K \Rightarrow v = \frac{K}{6\pi\eta d}$$

Flusso di sfere nella direzione -x

$$F_{visc} = RT + \frac{N_A\rho}{m} \times K$$

Flusso di Diffusione nella direzione +x

$$F_{visc} = RT + \frac{N_A\rho}{m} \times K$$

Flusso di Diffusione nella direzione +x

$$F_{visc} = RT + \frac{N_A\rho}{m} \times K$$

Flusso di Diffusione nella direzione +x

$$F_{visc} = RT + \frac{N_A\rho}{m} \times K$$

Flusso di Diffusione nella direzione +x

$$F_{visc} = RT + \frac{N_A\rho}{m} \times K$$

Flusso di Diffusione nella direzione +x

$$F_{visc} = RT + \frac{N_A\rho}{m} \times K$$

Flusso di Diffusione nella direzione +x

$$F_{visc} = RT + \frac{N_A\rho}{m} \times K$$

Flusso di Diffusione nella direzione +x

$$F_{visc} = RT + \frac{N_A\rho}{m} \times K$$

Flusso di Diffusione nella direzione +x

$$F_{visc} = RT + \frac{N_A\rho}{m} \times K$$

Flusso di Diffusione nella direzione +x

$$F_{visc} = RT + \frac{N_A\rho}{m} \times K$$

Flusso di Diffusione nella direzione +x

$$F_{visc} = RT + \frac{N_A\rho}{m} \times K$$

Flusso di Diffusione nella direzione +x

$$F_{visc} = RT + \frac{N_A\rho}{m} \times K$$

Flusso di Diffusione nella direzione +x

$$F_{visc} = RT + \frac{N_A\rho}{m} \times K$$

Flusso di Diffusione nella direzione +x

$$F_{visc} = RT + \frac{N_A\rho}{m} \times K$$

Flusso di Diffusione nella direzione +x

$$F_{visc} = RT + \frac{N_A\rho}{m} \times K$$

Flusso di Diffusione nella direzione +x

$$F_{visc} = RT + \frac{N_A\rho}{m} \times K$$

Flusso di Diffusione nella direzione +x

$$F_{visc} = RT + \frac{N_A\rho}{m} \times K$$

Flusso di Diffusione nella direzione +x

$$F_{visc} = RT + \frac{N_A\rho}{m} \times K$$

Flusso di Diffusione nella direzione +x

$$F_{visc} = RT + \frac{N_A\rho}{m} \times K$$

Flusso di Diffusione nella direzione +x

$$F_{visc} = RT + \frac{N_A\rho}{m} \times K$$

Flusso di Diffusione nella direzione +x

$$F_{visc} = RT + \frac{N_A\rho}{m} \times K$$

Flusso di Diffusione nella direzione +x

$$F_{visc} = RT + \frac{N_A\rho}{m} \times K$$

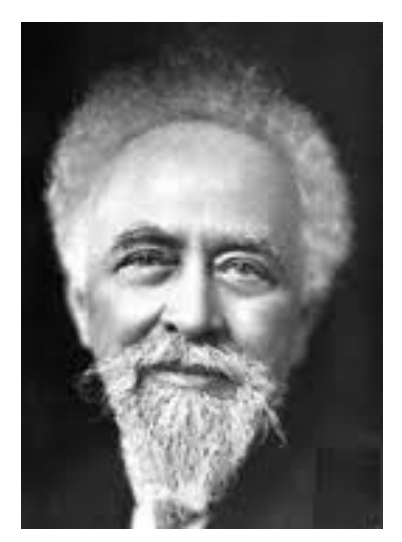
Flusso di Diffusione nella direzione +x

$$F_{visc} = RT + \frac{N_A\rho}{m} \times K$$

Flusso di Diffusione nella direzion

Realta' delle molecole

N_A			
68 x 10)22	per mezzo d	di emulsioni analoghe agas;
62 x 10)22	<i>u</i>	emulsioni analoghe a liquidi;
60 x 10)22	u	fluttuazioni emulsioni concentrate;
64 x 10)22	<i>u</i>	moto Browniano traslazionale;
65 x 10)22	u	moto Browniano rotazionale;
75 x 10)22	u	opalescenza critica;
65 x 10)22	u	azzurro del cielo;
64 x 10)22	u	radiazione di corpo nero;
61 x 10)22	u	goccioline ionizzate secondo Millikan;
62 x 10)22	u	decadimento radioattivo



J. Perrin: Nobel 1926

"La teoria atomica ha trionfato. Ancora poco tempo fa assai numerosi i suoi avversari, alfine conquistati, rinunciano uno dopo l'altro a sfide che furono a lungo legittime e senz'altro utili"

J. Perrin <u>"Les Atomes", (Paris, 1913)</u>

Fundamental Physical Constants

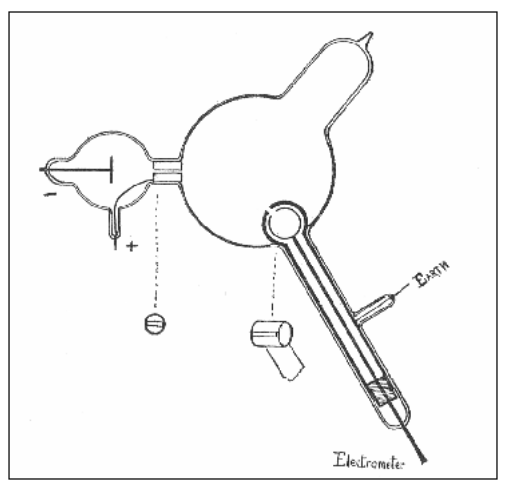
 $N_A = 6.022 141 79 \times 10^{23} \text{ mol}^{-1}$

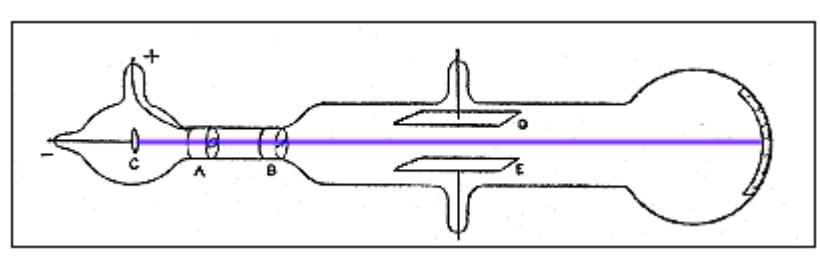
$$l_{atomo} \approx \sqrt[3]{\frac{M_{atomo}}{N_A \delta_{atomo}}} \approx 10^{-10} m = 1 \,\hat{A}$$



J.J. Thomson

La scoperta dell'elettrone

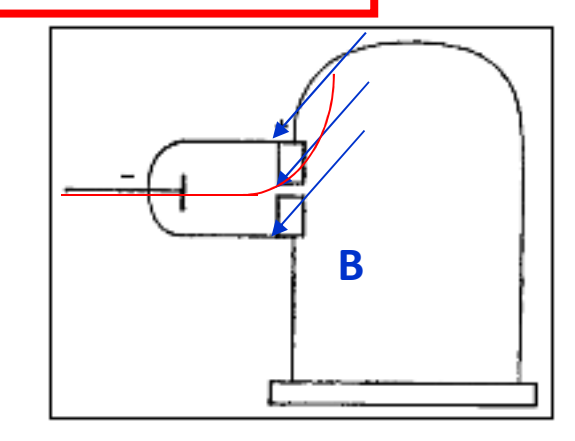




$$\frac{e}{m} = \frac{2V}{B^2 r^2}$$

"We have in the cathode rays matter in a new state, a state in which the subdivision of matter is carried very much further than in the ordinary gaseous state: a state in which all matter... is of one and the same kind; this matter being the substance from which all the chemical elements are built up."

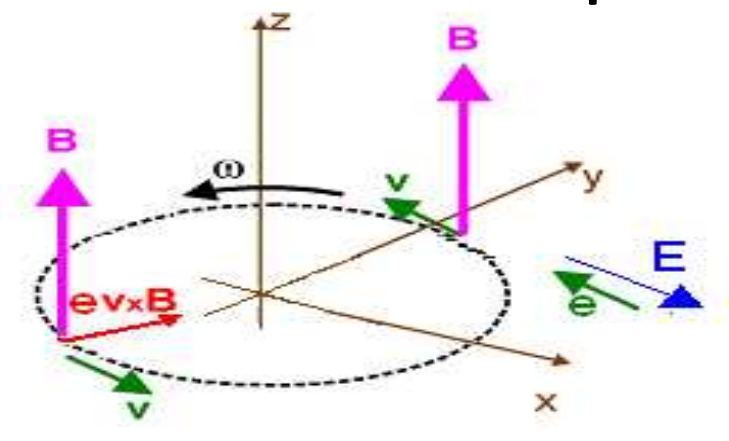
(J.J. Thomson, "Cathode Rays," The London Phil. Mag. J. Science, V, Oct.1897)



$$\frac{e}{m}$$
 = -1.758 820 12(15) x 10¹¹ C kg⁻¹

http://www.aip.org/history/electron/jjhome.htm

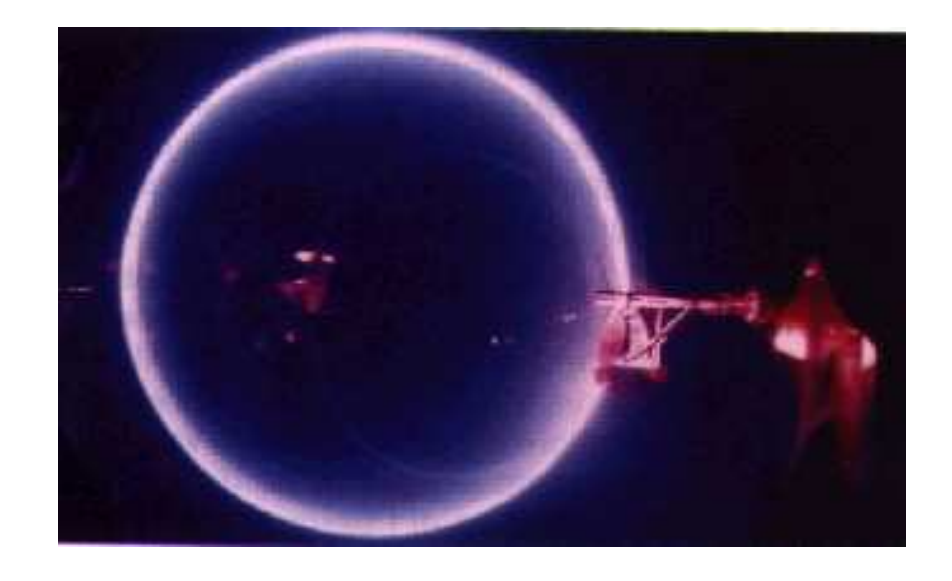
L'esperimento di Thomson



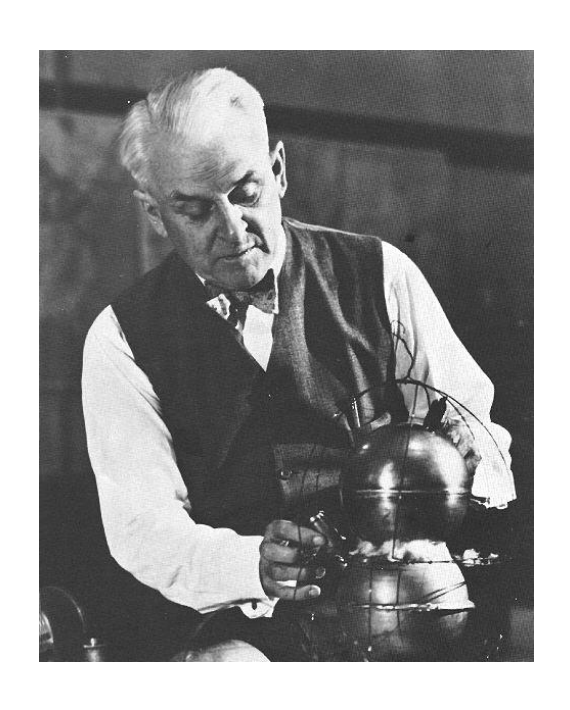
$$\vec{F}_{Lorentz} = q\vec{E} + q\vec{v} \times \vec{B}$$

$$evB = \frac{mv^2}{r}$$

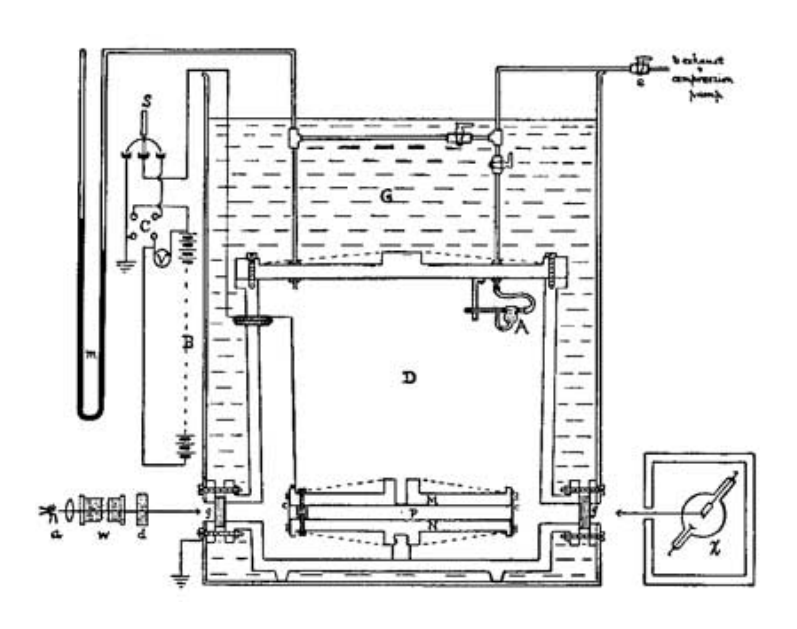
$$\frac{mv^2}{2} = eV$$



$$\frac{e}{m} = \frac{2V}{B^2 r^2}$$



L'esperienza di Millikan



Nel 1909 Robert Millikan fu il primo a misurare la carica dell'elettrone, grazie l'esperimento della "goccia d'olio", ottenendo già una precisione dello 0.1%: Q = 1.592 10⁻¹⁹ C

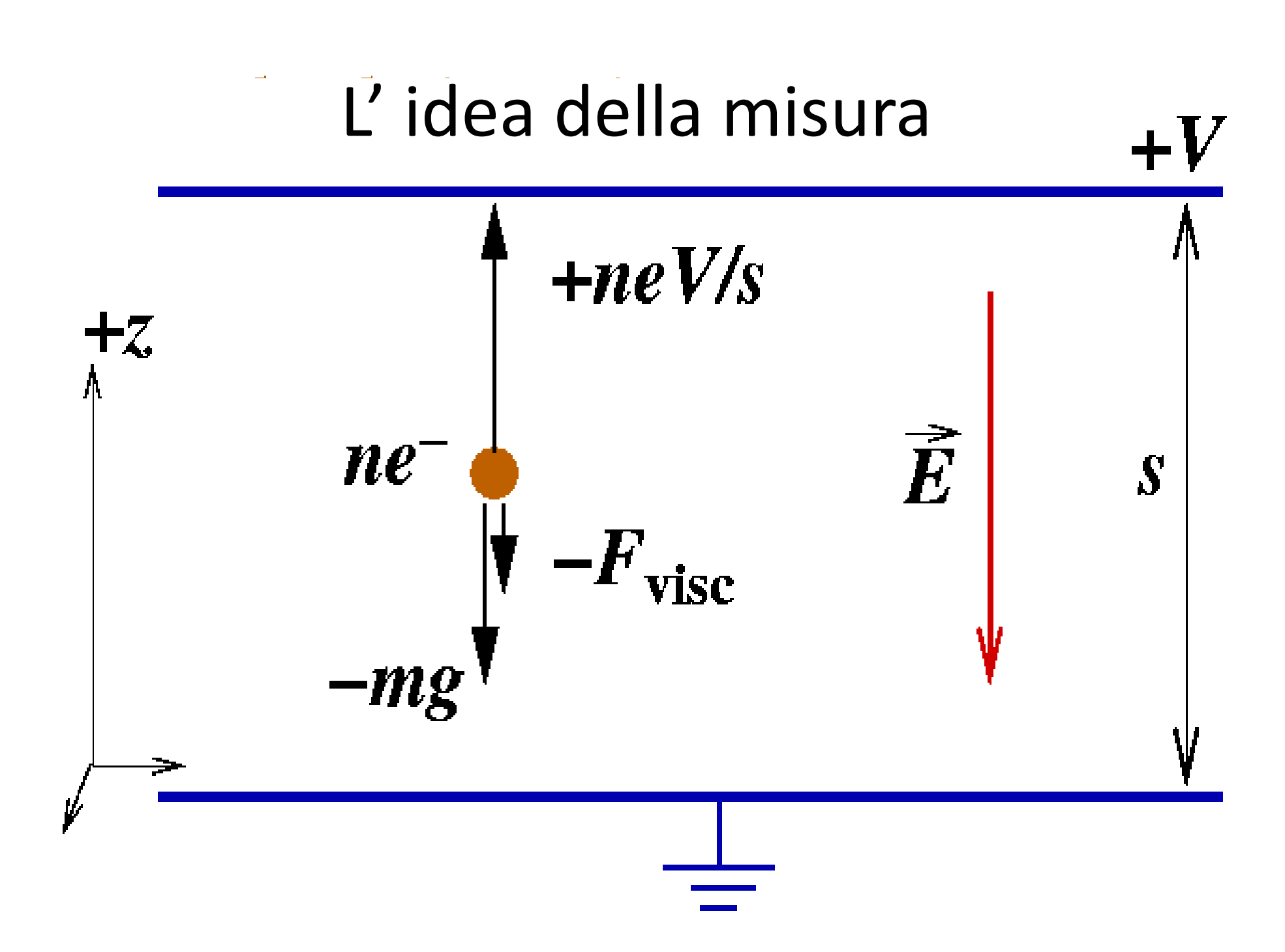
L'articolo definitivo (1913) gli valse, 10 anni più tardi, il riconoscimento del premio Nobel.

Il valore attualmente noto della carica dell'elettrone è

 $e = 1.602 \ 176 \ 565(35) \times 10^{-19} \ C$

http://www.aip.org/history/gap/Millikan/Millikan.html

http://pdg.lbl.gov/2014/reviews/rpp2014-rev-phys-constants.pdf



Modellizzazione dell'esperienza di Millikan

Forza di attrito viscoso

$$F_{visc} = 6\pi r \eta v$$
 velocità limite v_{c}

Equilibrio tra forza Peso e Attrito Viscoso

$$\frac{4}{3}\pi r^3 \rho g = 6\pi r \eta v$$

$$r = \sqrt{\frac{9\eta v}{2\rho g}}$$

Raggio della gocciolina

Equilibrio tra Forza Peso e Forza di Coulomb

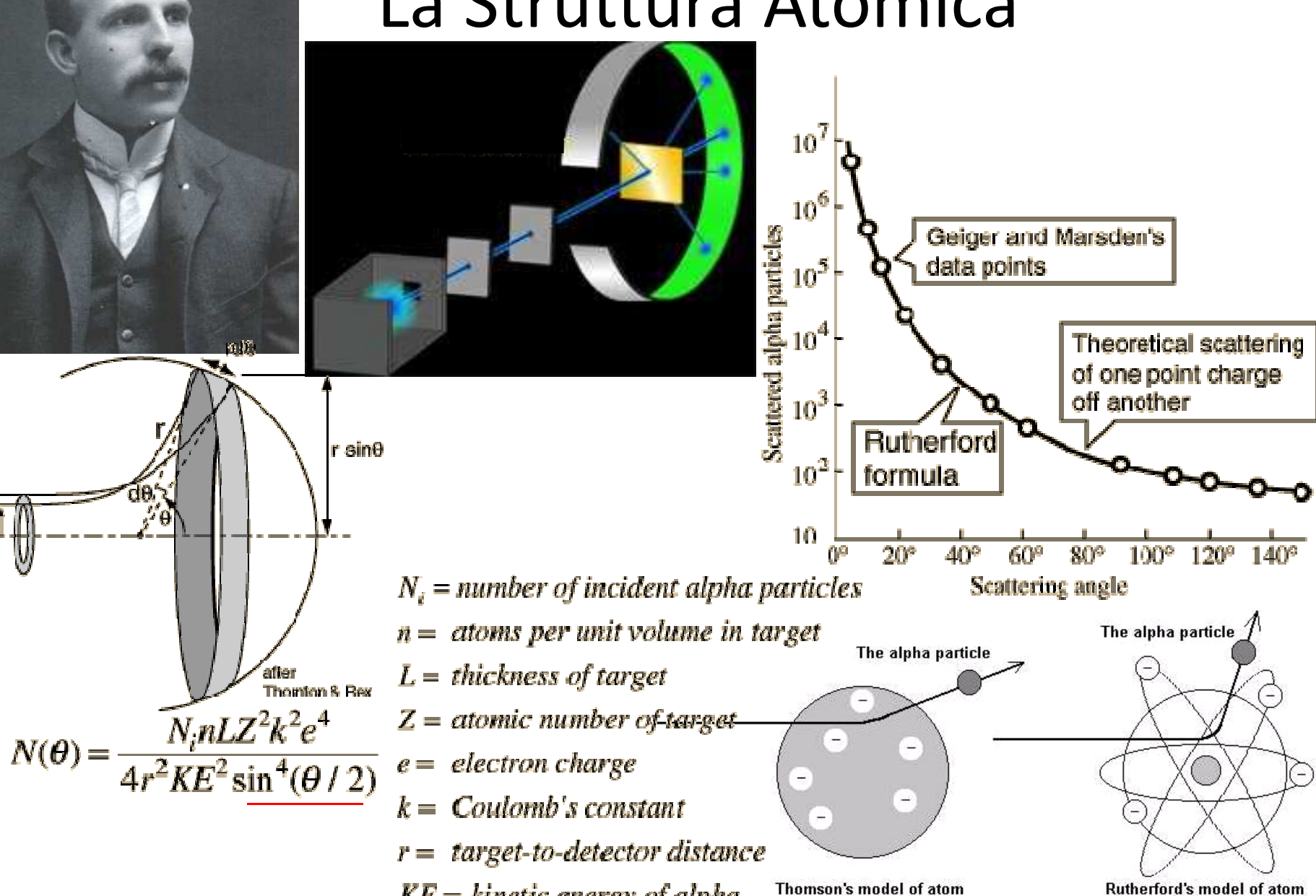
$$qE = mg$$

$$qE = mg$$
 $E = \frac{V}{d}$ Campo elettrico in un condensatore piano

Carica della gocciolina

$$q = \frac{18\pi d}{V} \sqrt{\frac{\eta^3 v^3}{2\rho g}}$$

La Struttura Atomica



 $KE = kinetic\ energy\ of\ alpha$

 $\theta = scattering angle$

Incoerenza con la Fisica Classica!!

La Radiazione esplora la Materia

Perché malleabile,opaco e conduttore?









Maxwell e le Onde

1864-'65

Velocità della luce



$$div \stackrel{\mathsf{O}}{E} = \frac{\rho}{\varepsilon_0}$$

$$rot \stackrel{\mathsf{O}}{E} = -\frac{\partial B}{\partial t}$$

$$div \stackrel{\mathbf{O}}{B} = 0$$

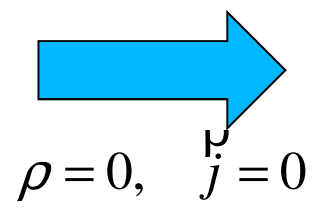
$$rot \, \stackrel{\frown}{E} = -\frac{\partial B}{\partial t}$$

$$div \, \stackrel{\frown}{B} = 0$$

$$rot \, \stackrel{\frown}{B} = \mu_0 \stackrel{\frown}{j} + \mu_0 \varepsilon_0 \frac{\partial \stackrel{\frown}{E}}{\partial t}$$

$$-\rho = 0, \quad \stackrel{\frown}{j} = 0$$

$$-\rho = 0, \quad \stackrel{\frown}{j} = 0$$
Assenza di invara Trasformazioni



$$\frac{\partial^2 f}{\partial t^2} = c^2 \nabla^2 f$$

Equazione delle onde Onde Hertziane (1887)

Assenza di invarianza rispetto a Trasformazioni di Galilei



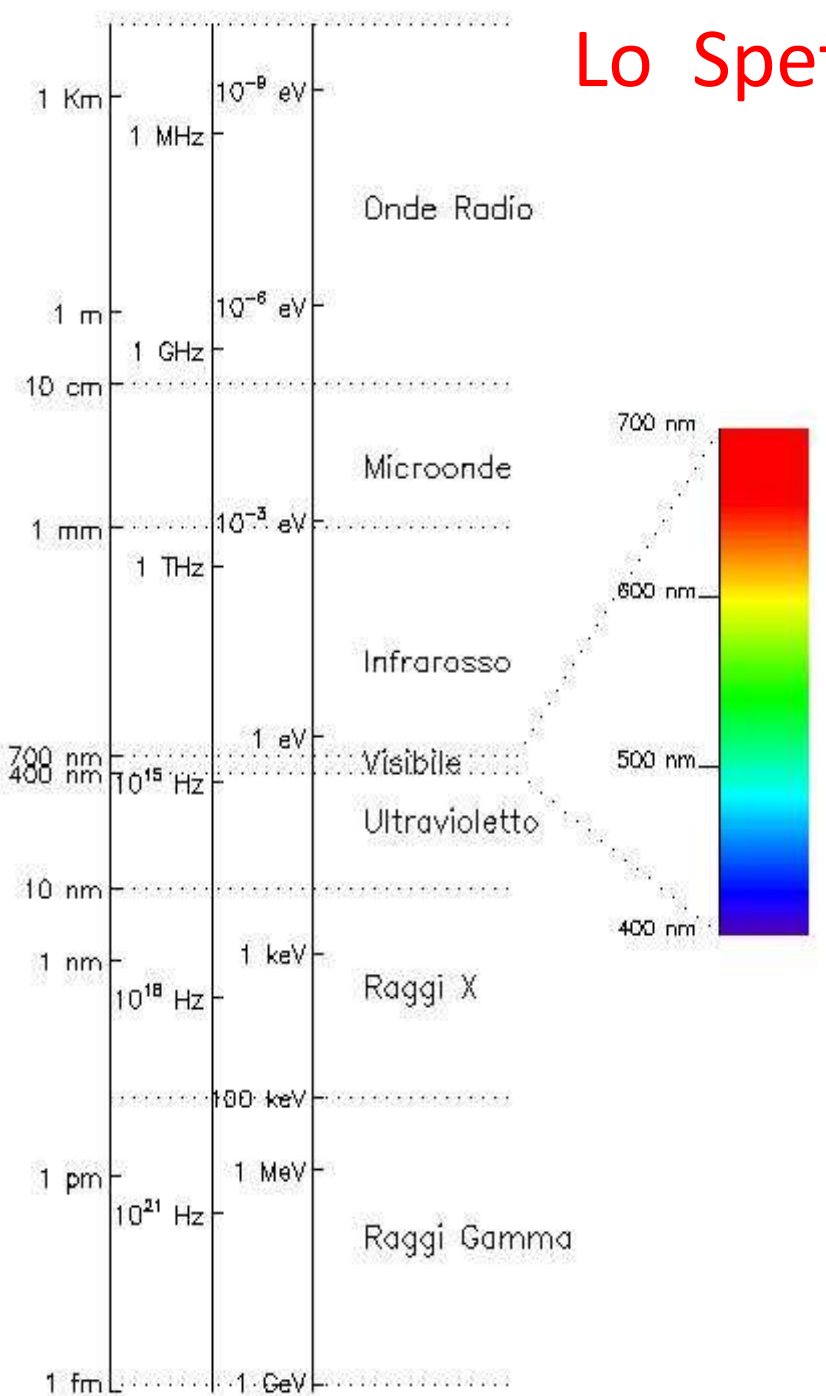
$$f = A \sin(k x - \omega t + \delta)$$
 $\omega = c k$

Numero d'onda:

$$k = 2\pi / \lambda$$

Frequenza angolare: $\omega = 2\pi / T$





Lo Spettro E.M.

Visibile

1666 – Newton disperde la luce visibile con un prisma. Il visibile è prodotto da transizioni degli elettroni in atomi e molecole e da corpi molto caldi Infrarosso

1800 – Herschel mostra che la radiazione solare si estende nell'infrarosso. L'infrarosso è prodotto da transizioni rotazionali e vibrazionali delle molecole e da corpi caldi.

Ultravioletto (UV)

1801 – Ritter in modo analogo all'IR scopre la luce ultravioletta. L'UV è prodotto da transizioni elettroniche di atomi ionizzati.

Onde radio e microonde

1885 – Hertz scopre le onde radio. Le onde radio sono prodotte da dispositivi elettrici e elettronici, da radiazione di fondo cosmico e alla radiazione di frenamento.

Raggi X e Raggi γ

1896 - Roentgen scopre i raggi X.

1914 - Rutherford identifica i raggi γ

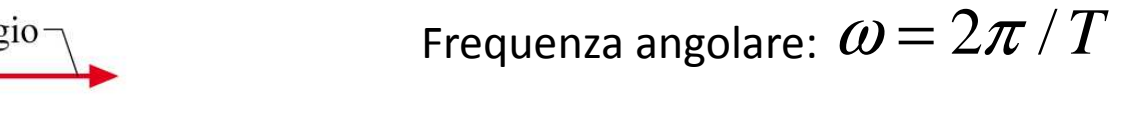
I raggi X sono prodotti nelle transizioni elettroniche negli atomi di elettroni di shell interne. I raggi γ sono prodotti nelle reazioni nucleari.

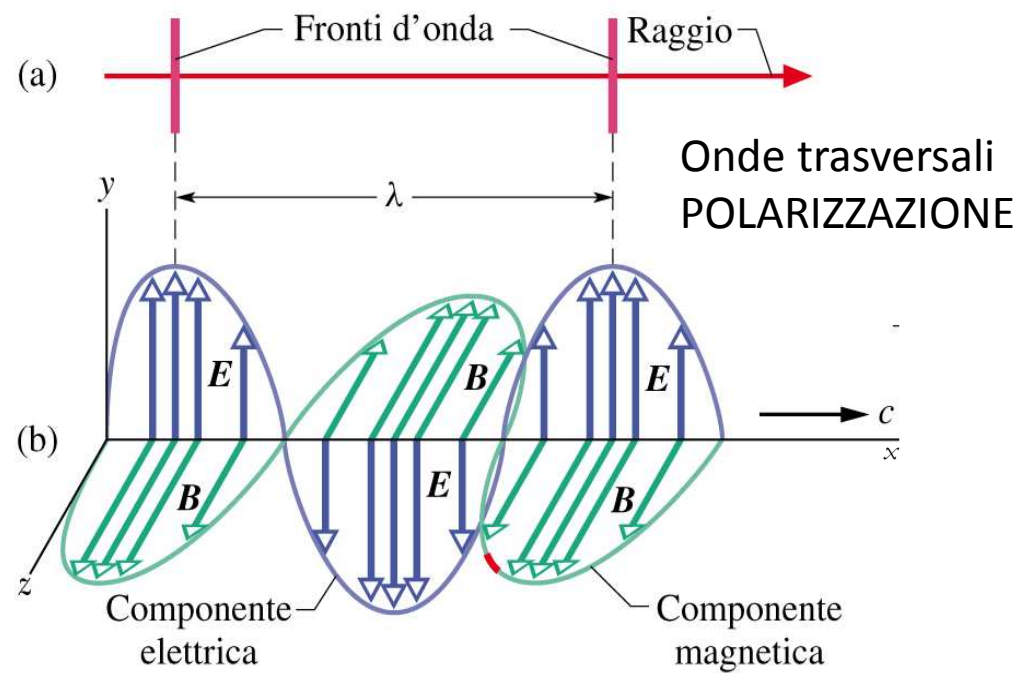
Caratteristiche principali delle Onde EM

$$\vec{E} = \vec{E}_m \sin(kx - \omega t)$$
$$\vec{E}_m = c \vec{E}_m$$

$$\overrightarrow{E} = \overrightarrow{E}_m \sin(kx - \omega t)$$
 $\overrightarrow{B} = \overrightarrow{B}_m \sin(kx - \omega t)$ $E_m = c B_m$ $\omega = c \begin{vmatrix} \mathbf{p} \\ k \end{vmatrix}$ Legge di dispersione

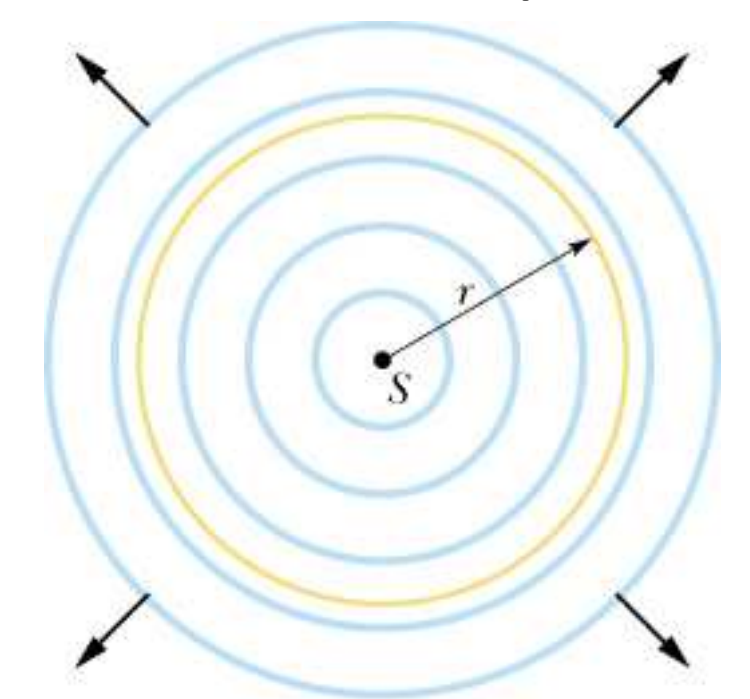
Numero d'onda: $k = 2\pi / \lambda$





$$S = \frac{1}{\mu_0} E \times B$$
V. Poynting

Trasporto di energia e momento



$$S = \frac{1}{c\mu_0} E^2 \left(\frac{\text{energia/tempo}}{\text{area}} \right) = \left(\frac{\text{potenza}}{\text{area}} \right)$$

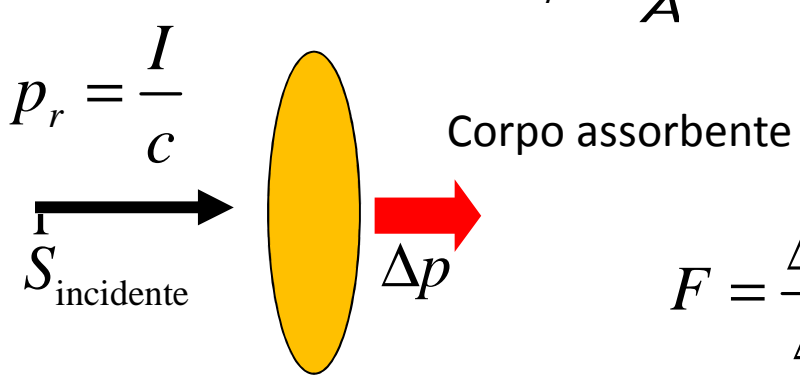
$$I = \frac{\text{potenza}}{\text{area}} = \frac{P_S}{4\pi r^2}$$
 Intensità luminosa

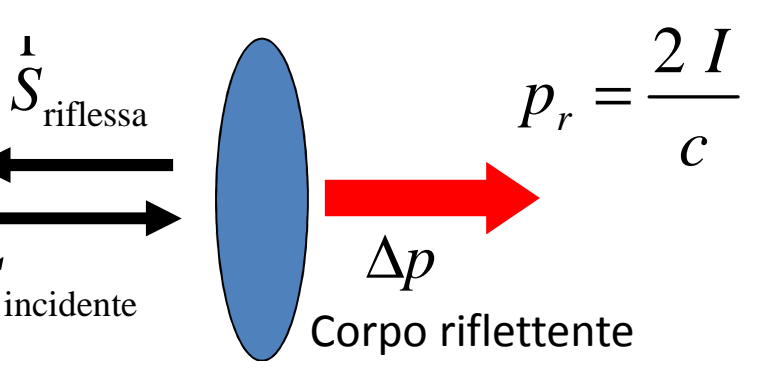
$$I = \frac{\Delta U/\Delta t}{A}$$
 $\Delta U = IA \Delta t$

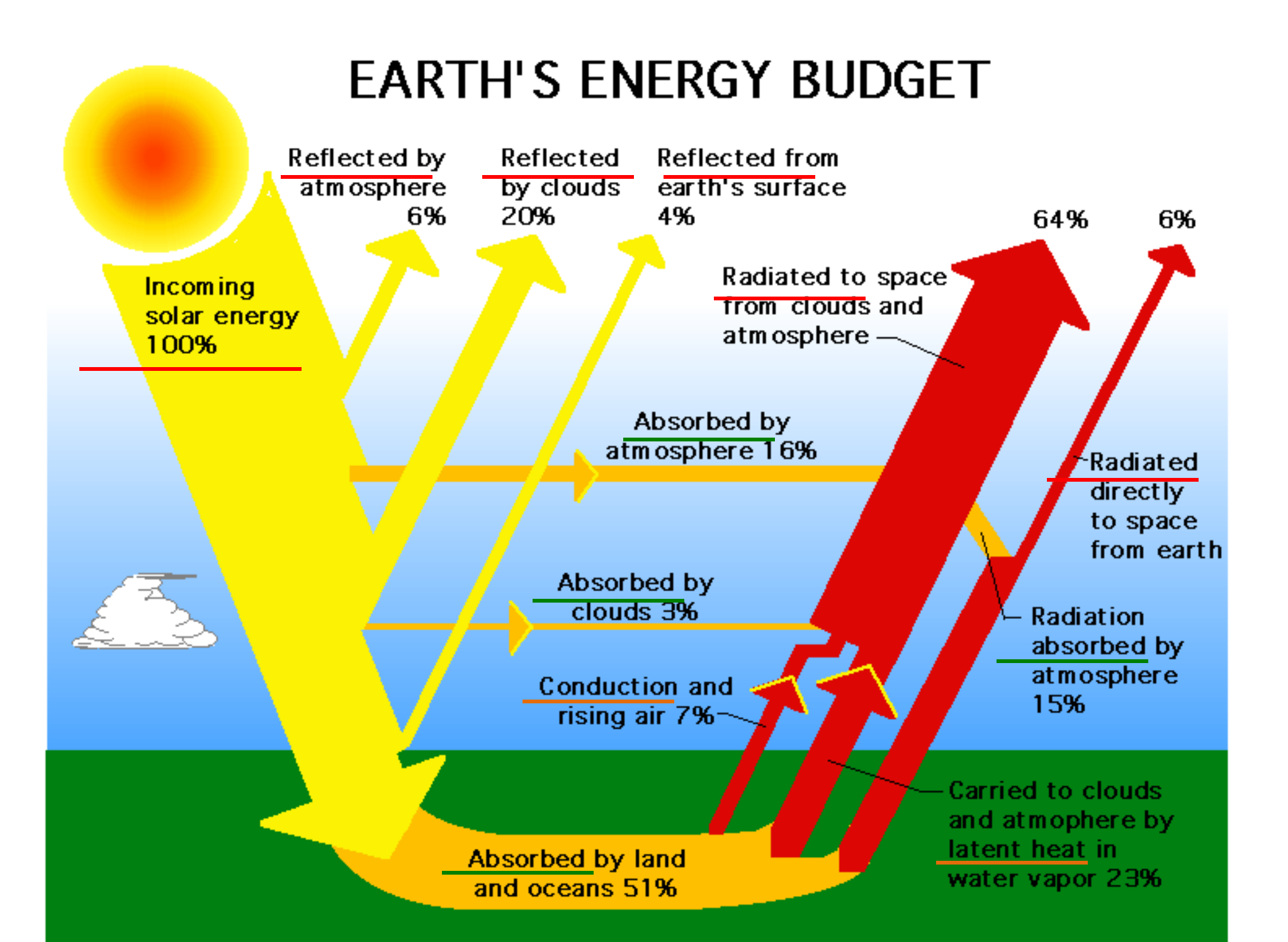
$$F = \frac{IA}{c}$$
 assorbimento totale $F = \frac{2IA}{c}$ riflessione totale

$$F = \frac{2IA}{c}$$
 riflessione totale

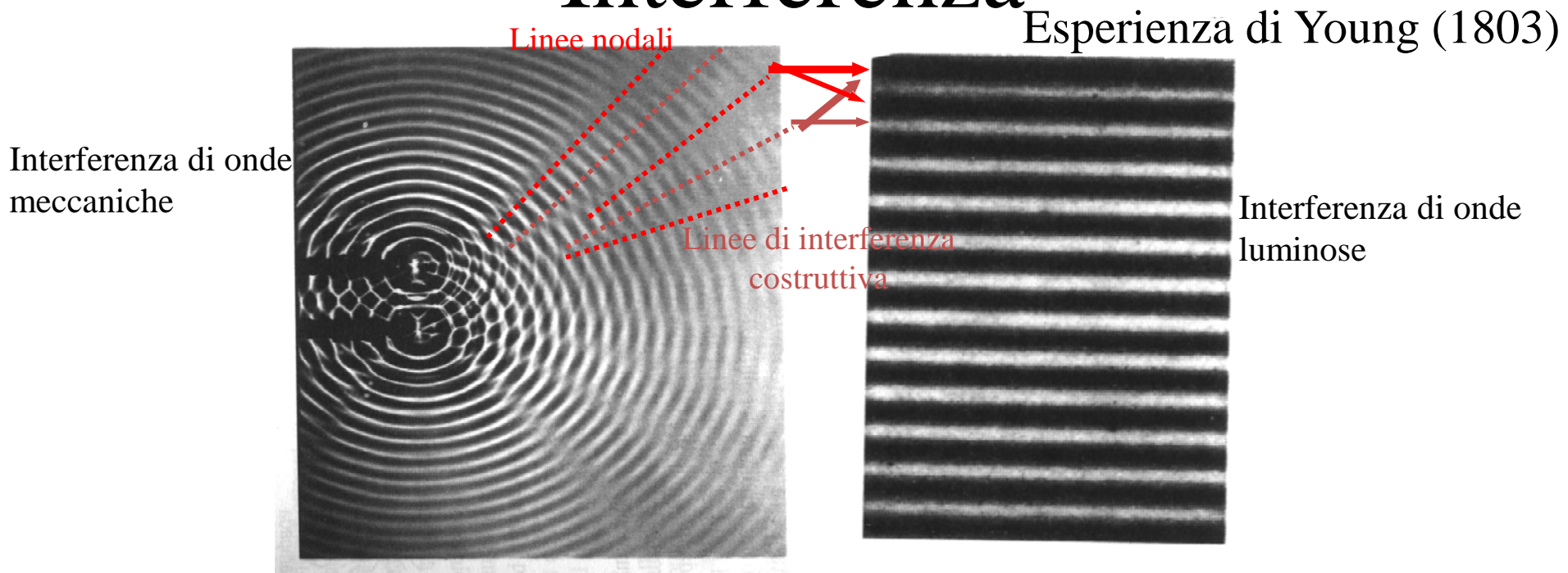
$$p_r = \frac{F}{A}$$
 pressione di radiazione



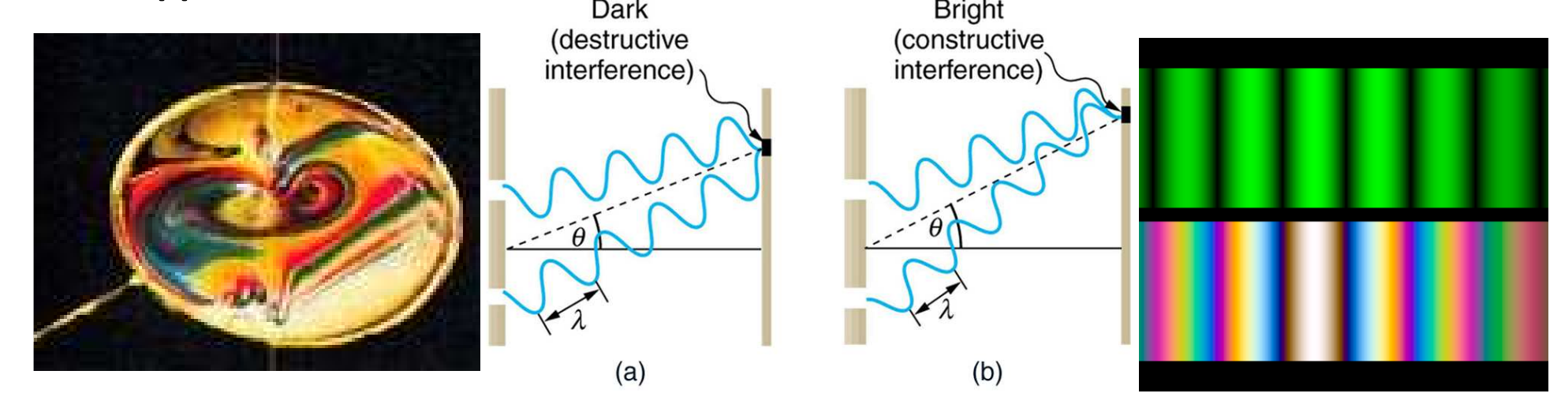


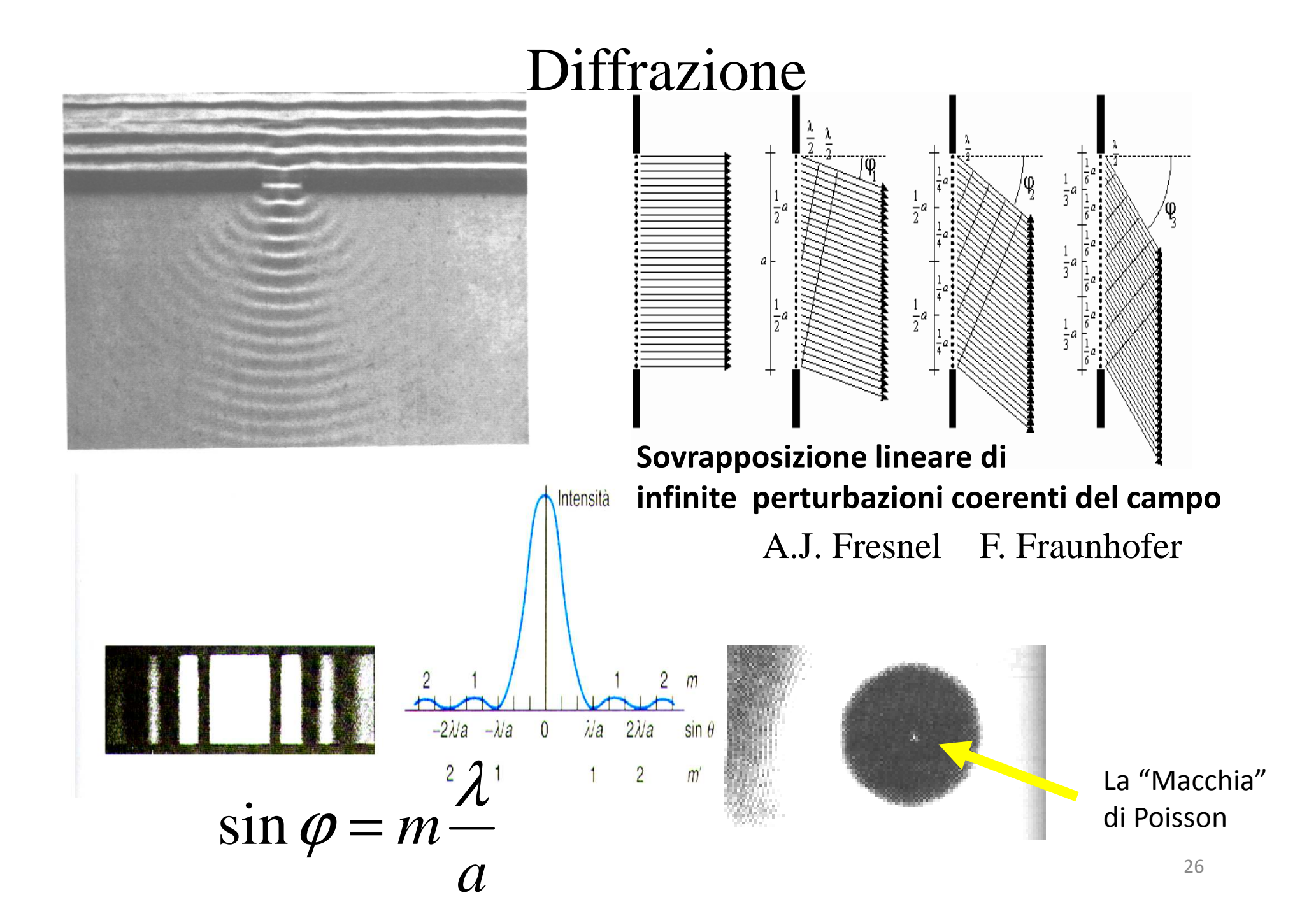


Interferenza



Sovrapposizione lineare di 2 perturbazioni coerenti del campo Dark



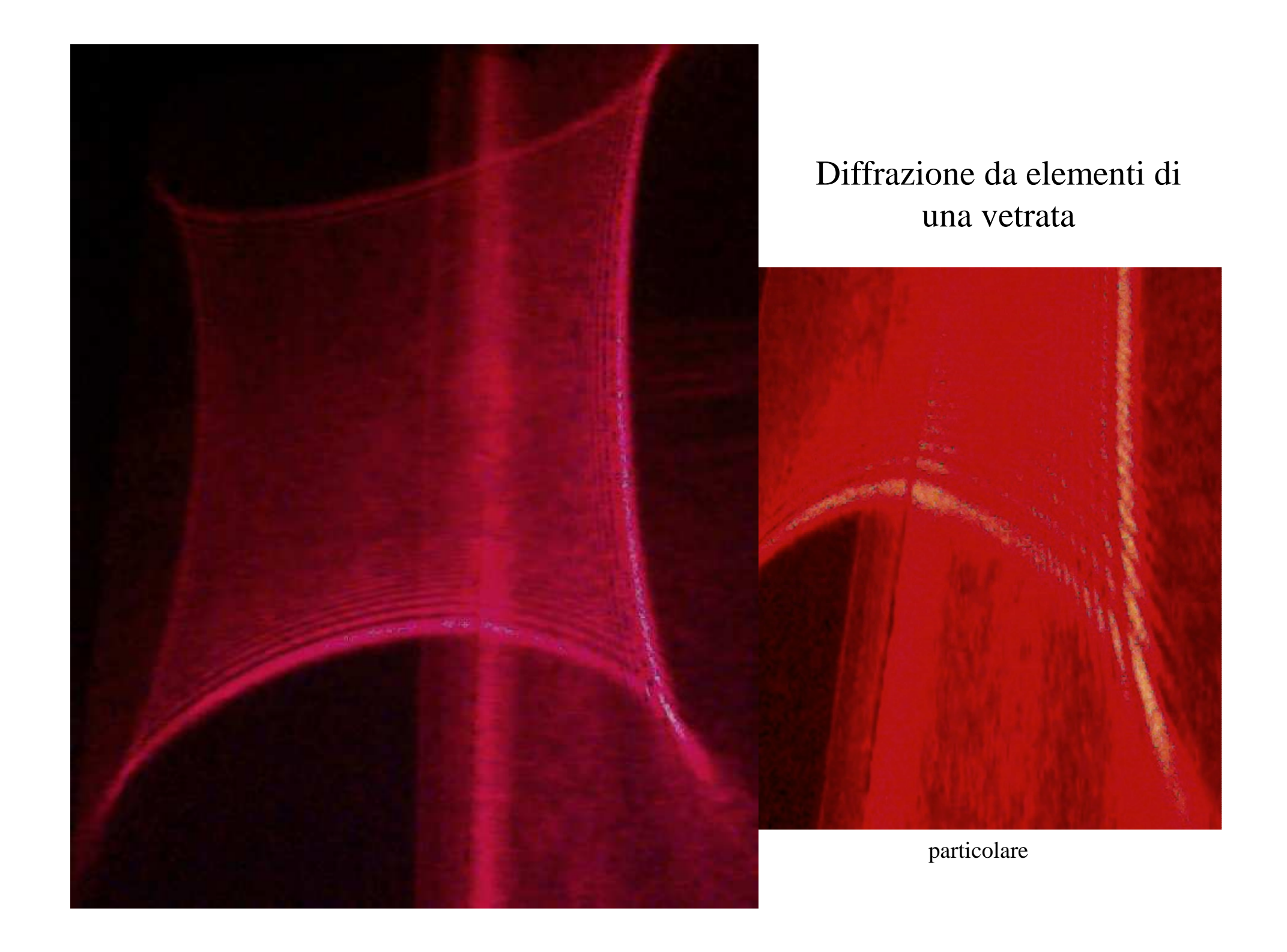


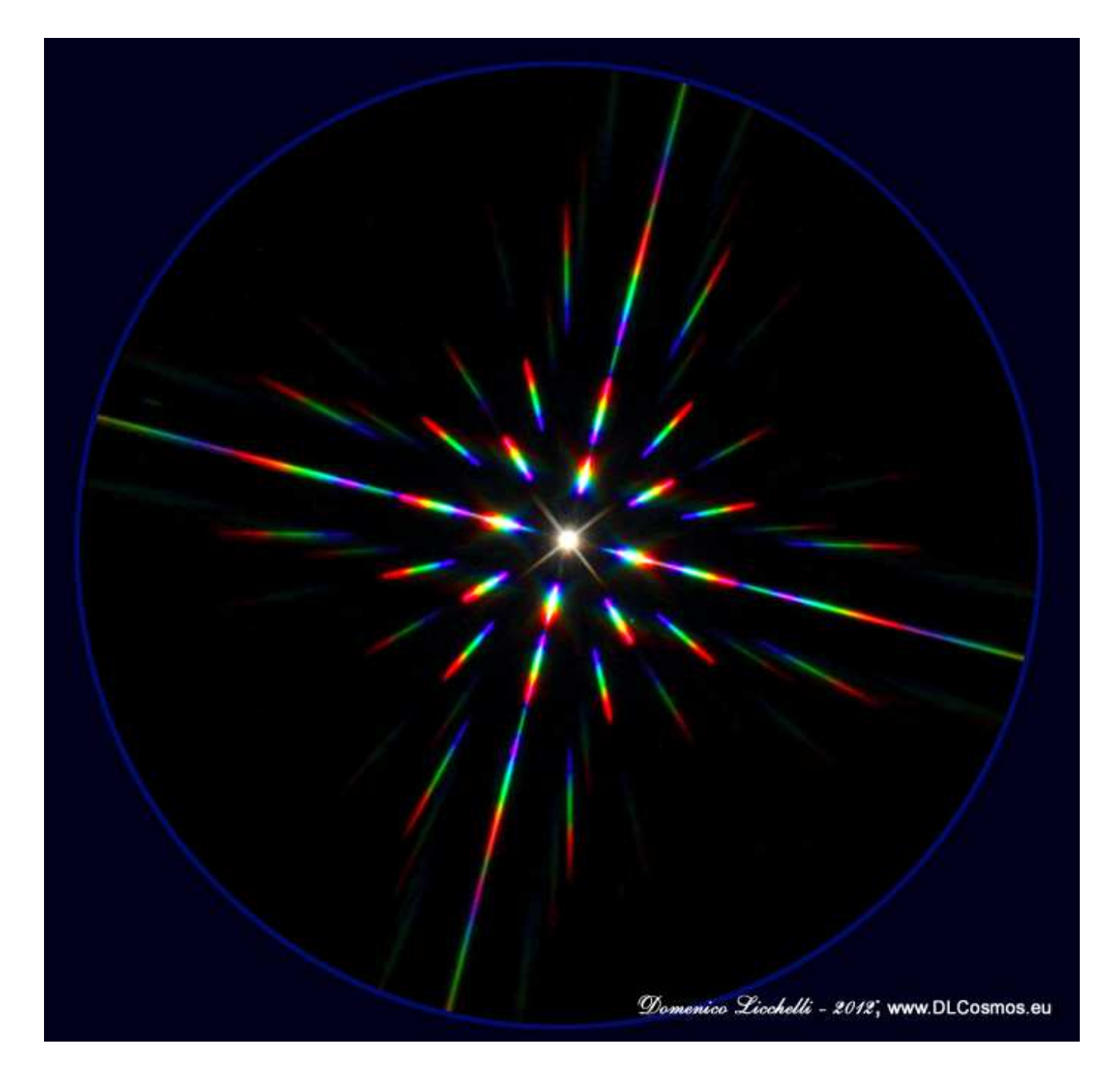












Capella, attraverso un frangifiamma

Velocità della luce e sua misura

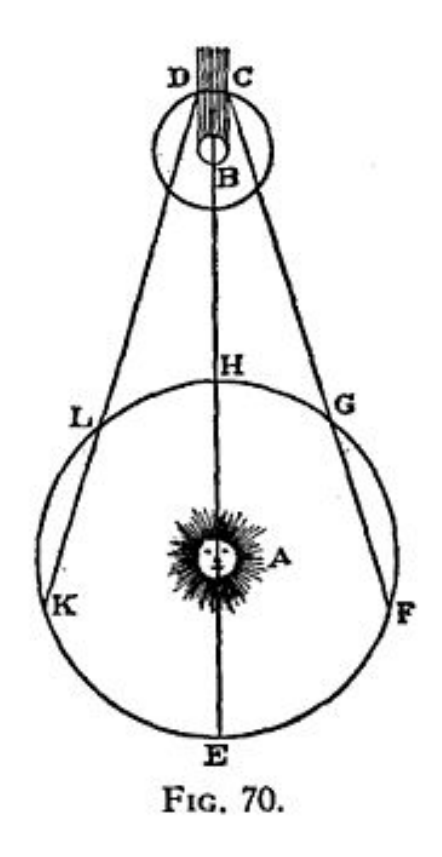


1670, Ole Roemer

300000 km/sec







Misura della velocità della luce

Metodo di Foucault - Michelson

relazione dei punti coniugati

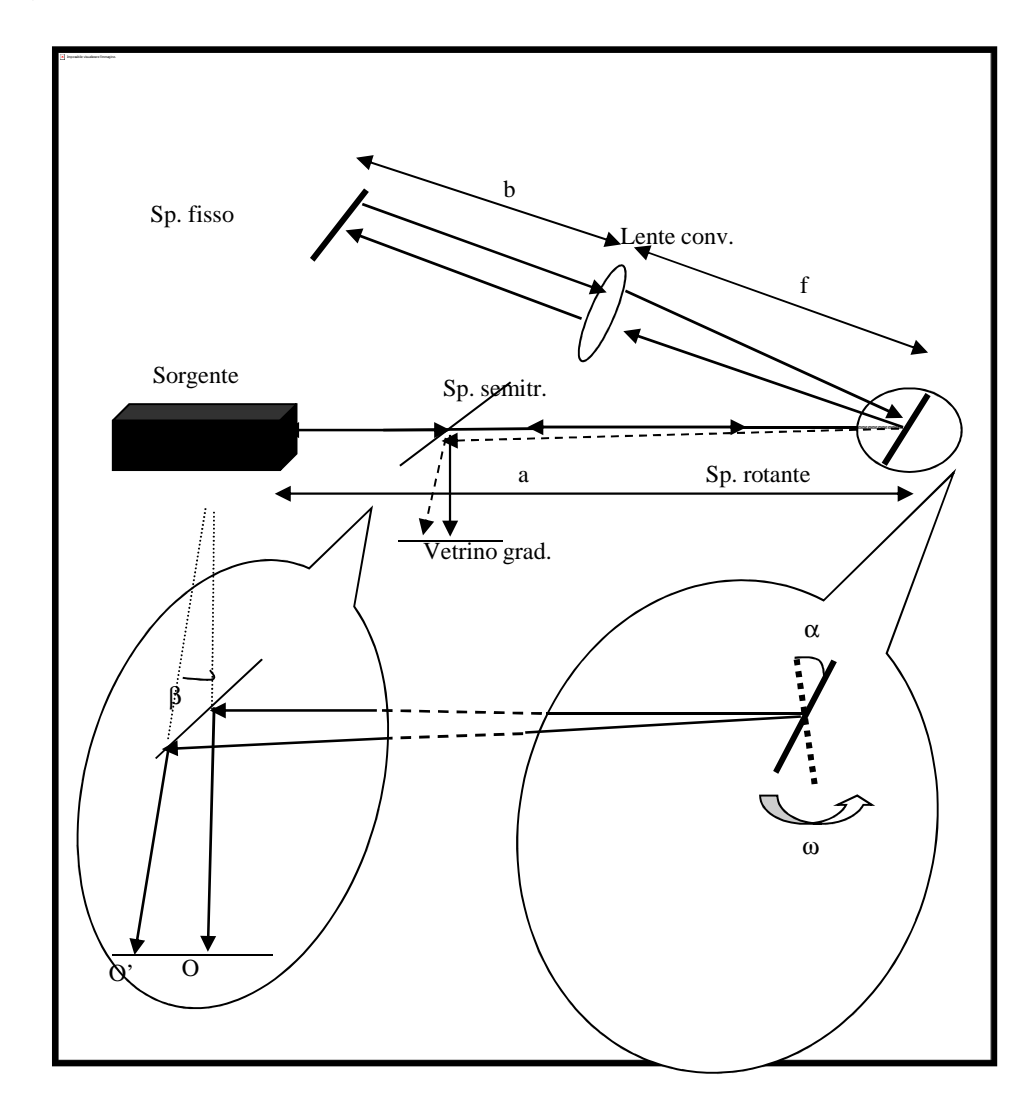
$$\frac{1}{a+f} + \frac{1}{b} = \frac{1}{f}$$

$$c = \frac{\Delta s}{\Delta t} \quad \Delta s = 2(b+f)$$

$$\alpha = \omega \Delta t$$
 $\beta = 2\alpha$

$$|oo'| = 2\alpha a$$

$$c = \frac{4\omega(b+f)a}{|OO'|}$$



Date Author	Method	Result (km/s)	Error
1676 Olaus Roemer	Jupiter's satellites	214,000	
1726 James Bradley	Stellar Aberration	301,000	
1849 Armand Fizeau	Toothed Wheel	315,000	
1862 Leon Foucault	Rotating Mirror	298,000	+-500
1879 Albert Michelso	on Rotating Mirror	299,910	+-50
1907 Rosa, Dorsay	Electromagnetic cons	stants 299,788	+-30
1926 Albert Michelso	on Rotating Mirror	299,796	+-4
1947 Essen, Gorden-S	Smith Cavity Resonate	or 299,792	+-3
1958 K. D. Froome	Radio Interferometer	299,792.5 +-0.	1
1973 Evanson et al	Lasers	299,792.4574	+-0.001
1983 Adop	pted Value 299,792.45	58	

speed of light in vacuum

Value 299 792 458 m s⁻¹

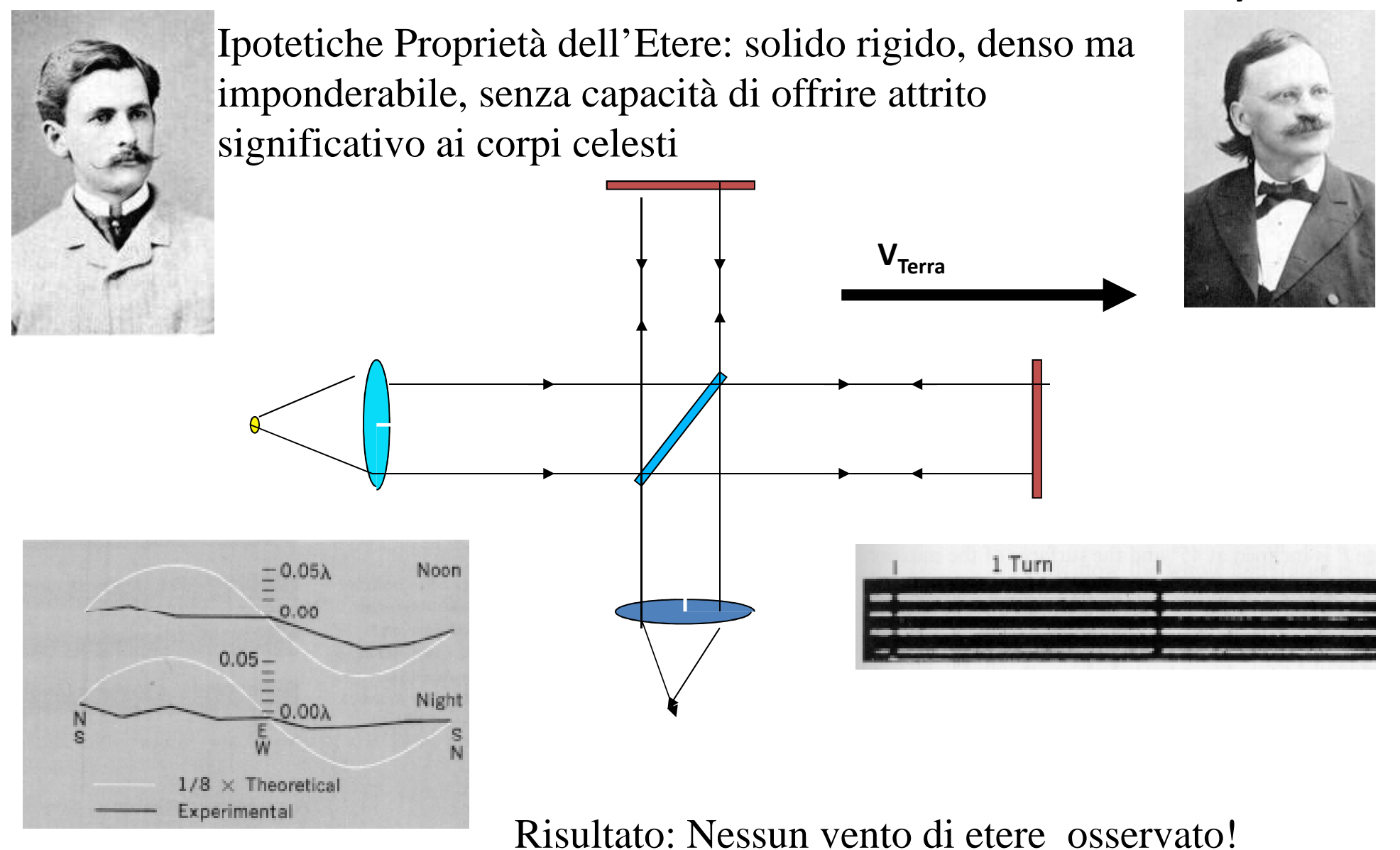
Standard uncertainty (exact)

Relative standard uncertainty (exact)

Concise form 299 792 458 m s⁻¹

Il metro è la lunghezza percorsa dalla luce nel vuoto in un intervallo di tempo di 1/299792458 di secondo.

Cercando il vento di Etere: Michelson e Morley



Relatività

Le Leggi della Meccanica di Newton sono invarianti di Galilei.

Le leggi di Maxwell NON sono invarianti rispetto a trasformazioni di Galilei Quindi incompatibili con la Meccanica Classica



Quale tra queste due teorie qual è la più fondamentale?

La velocità della luce **non cambia** tra due sistemi di riferimento in moto relativo uniforme

I postulati della Relatività

1.Postulato della relatività

Le leggi della fisica sono le stesse in tutti i sistemi di riferimento inerziali. Non esiste un sistema di riferimento privilegiato.

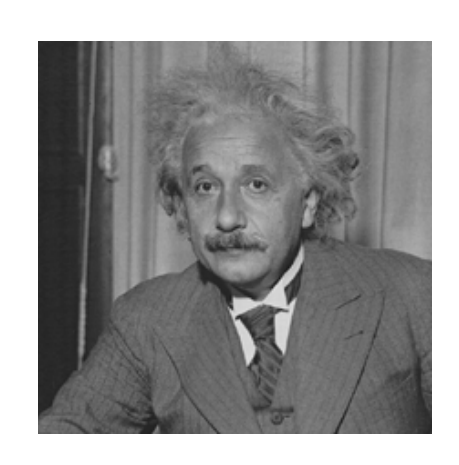
(come per Galilei !!!)

2. Postulato della velocità della luce

La velocità della luce nel vuoto ha lo stesso valore c in tutte le direzioni e in tutti i sistemi di riferimento inerziali. (NUOVO !!!!)

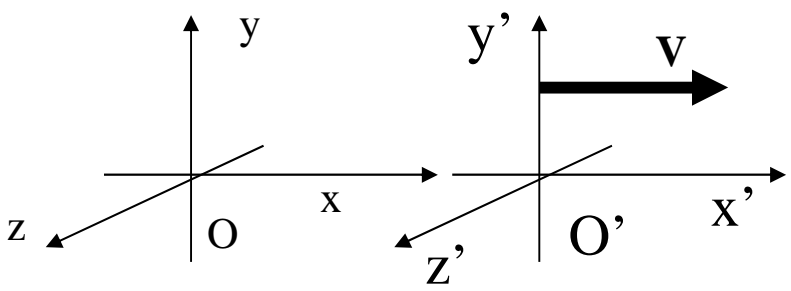
Relatività Speciale

- La velocità della luce è indipendente dal moto della sorgente o del ricevitore
- Le leggi della Fisica sono le stesse in tutti sistemi di riferimento
- Le coordinate dello spazio-tempo tra due sistemi di riferimento inerziali in moto relativo uniforme sono dettate dalle TRASFORMAZIONI di LORENTZ



Trasformazioni di Lorentz

$$x' = \frac{x - Vt}{\left(1 - V^2/c^2\right)^{1/2}}, \quad y' = y, \quad z' = z$$
$$t' = \frac{t - V/c^2 x}{\left(1 - V^2/c^2\right)^{1/2}}$$



Sorgenti di radiazione

Fiamma

Converte energia chimica (combustione) in energia radiante.



Converte energia elettrica in termica e quindi radiante.



Convertono energia elettrica in energia di ionizzazione e poi radiante.

Sole e stelle

Converte energia nucleare in radiante.

Aurore

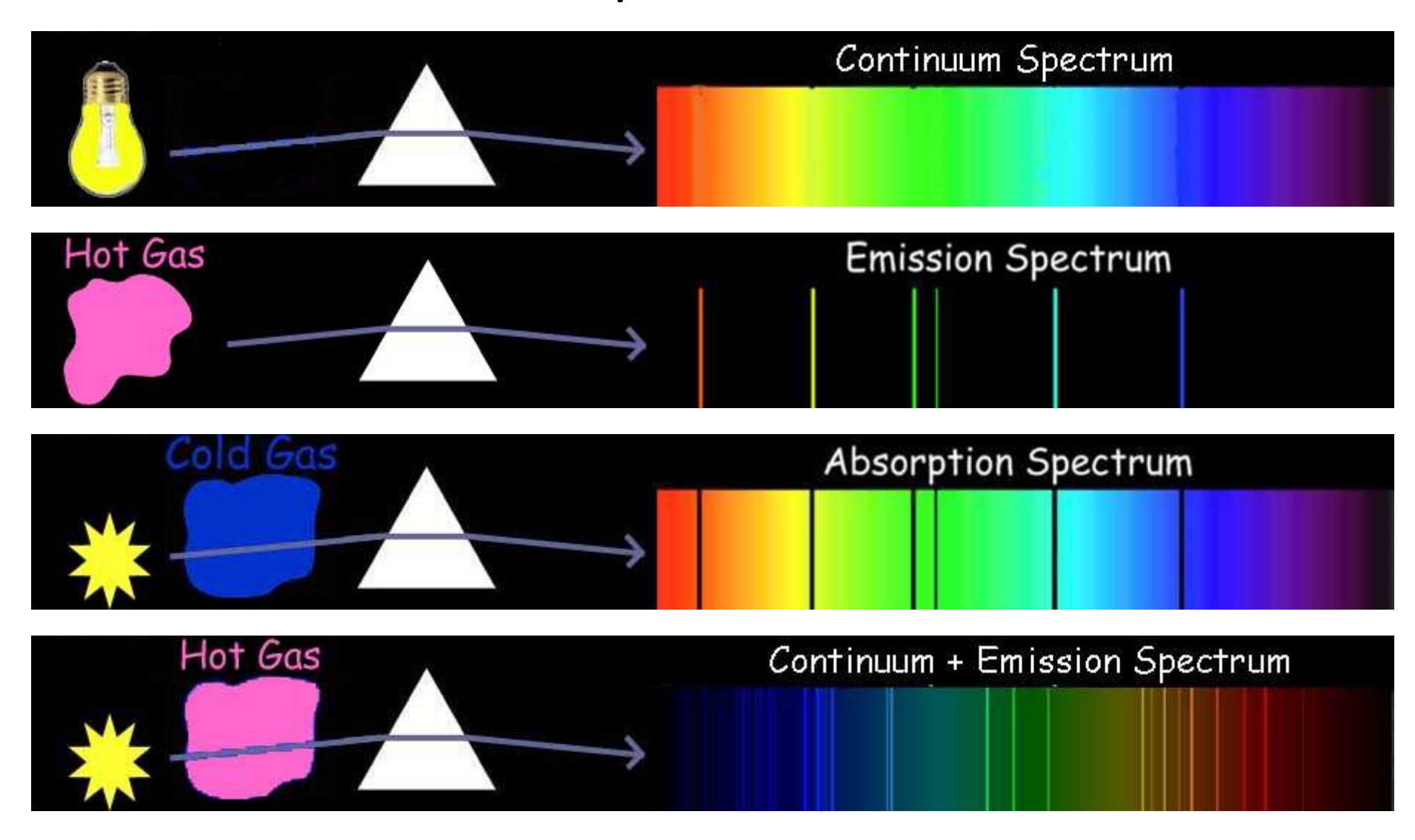
Converte energia cinetica in energia di eccitazione in energia radiante.



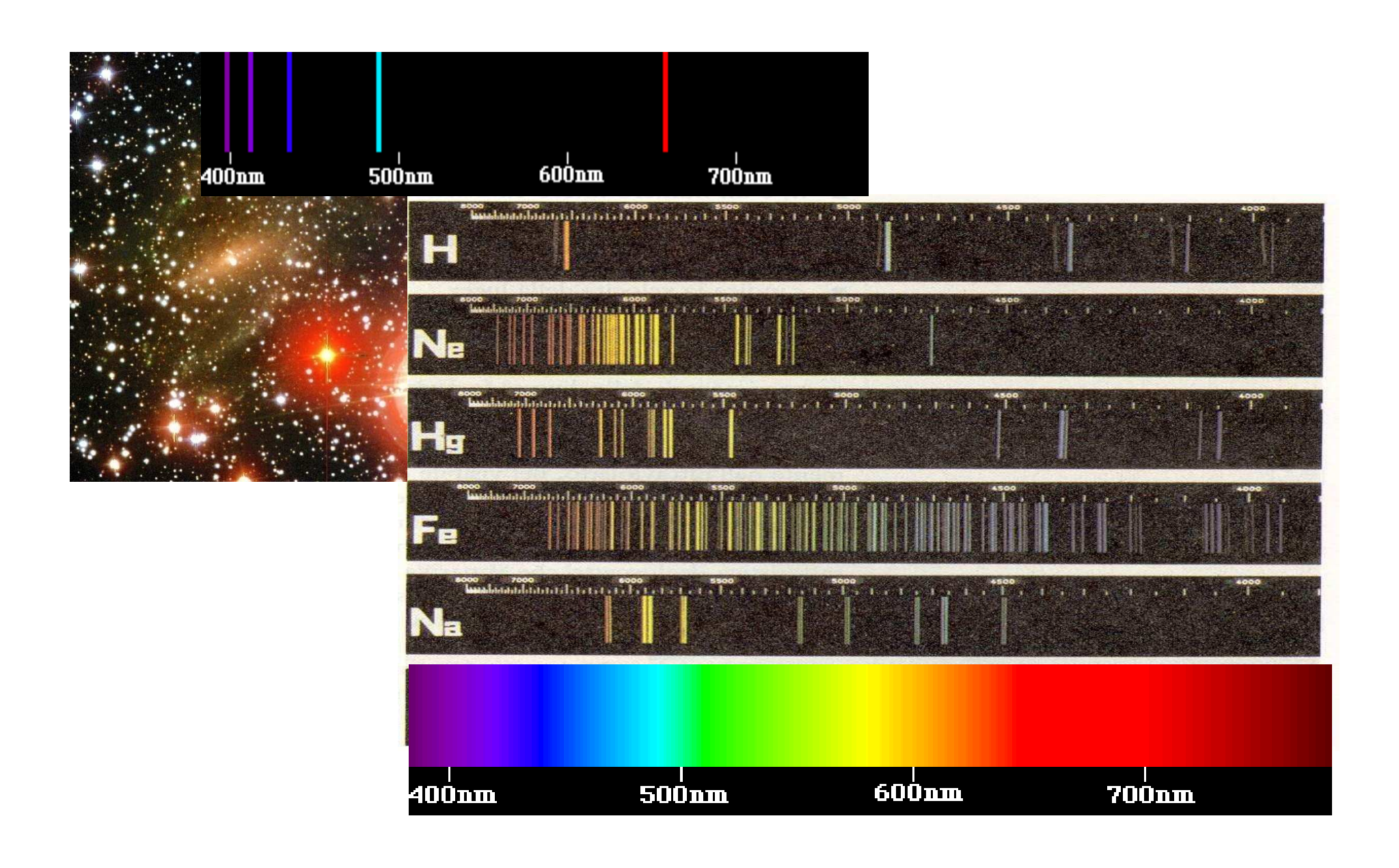


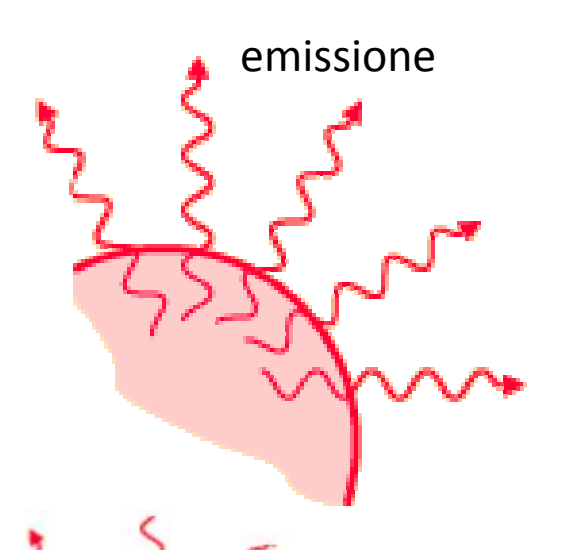


Caratteristiche dello spettro



Spettri continui e discreti





Irraggiamento

$$\frac{P}{A} = e\sigma T^4$$



«per ogni sostanza il comportamento rispetto all'emissione e all'assorbimento, a parità di temperature, è il medesimo»

$$\alpha + \rho + \tau = 1$$

riflessione

$$P = e\sigma A(T^4 - T_C^4)$$

trasmissione

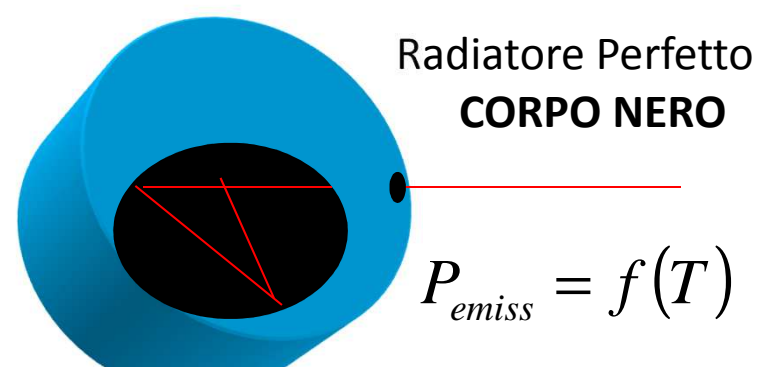
$$e = \alpha$$

II Principio della **Termodinamica**

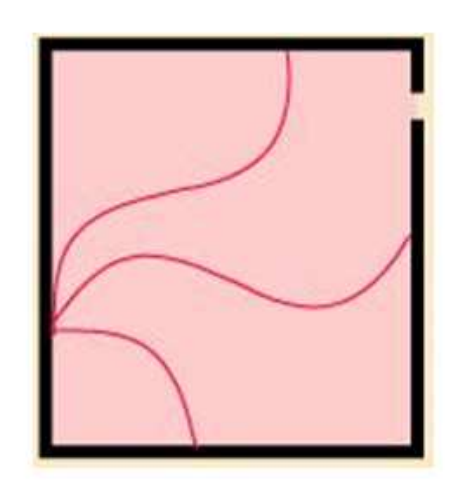
Assorbitore Perfetto **CORPO NERO**

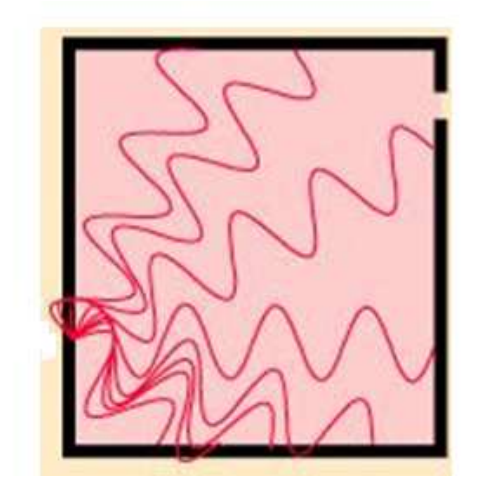
$$\frac{P}{A} = \sigma T^4 j / m^2 s$$
 Stefan-Boltzmann Law

$$\sigma = 5.6703x10^{-8} watt / m^2 K^4$$



Campo E.M. in una Cavita'





$$:N = \frac{\pi}{3} \left(n_1^2 + n_2^2 + n_3^2 \right)^{3/2} = \frac{8\pi L^3}{3\lambda^3}$$

$$\frac{dN}{d\lambda} = \frac{d}{d\lambda} \left[\frac{8\pi L^3}{3\lambda^3} \right] = -\frac{8\pi L^3}{\lambda^4}$$

Numero di modi/Volume lungh. d'onda

$$= -\frac{1}{L^3} \frac{dN}{d\lambda} = \frac{8\pi}{\lambda^4}$$

Densita' di energia/lungh.d'onda

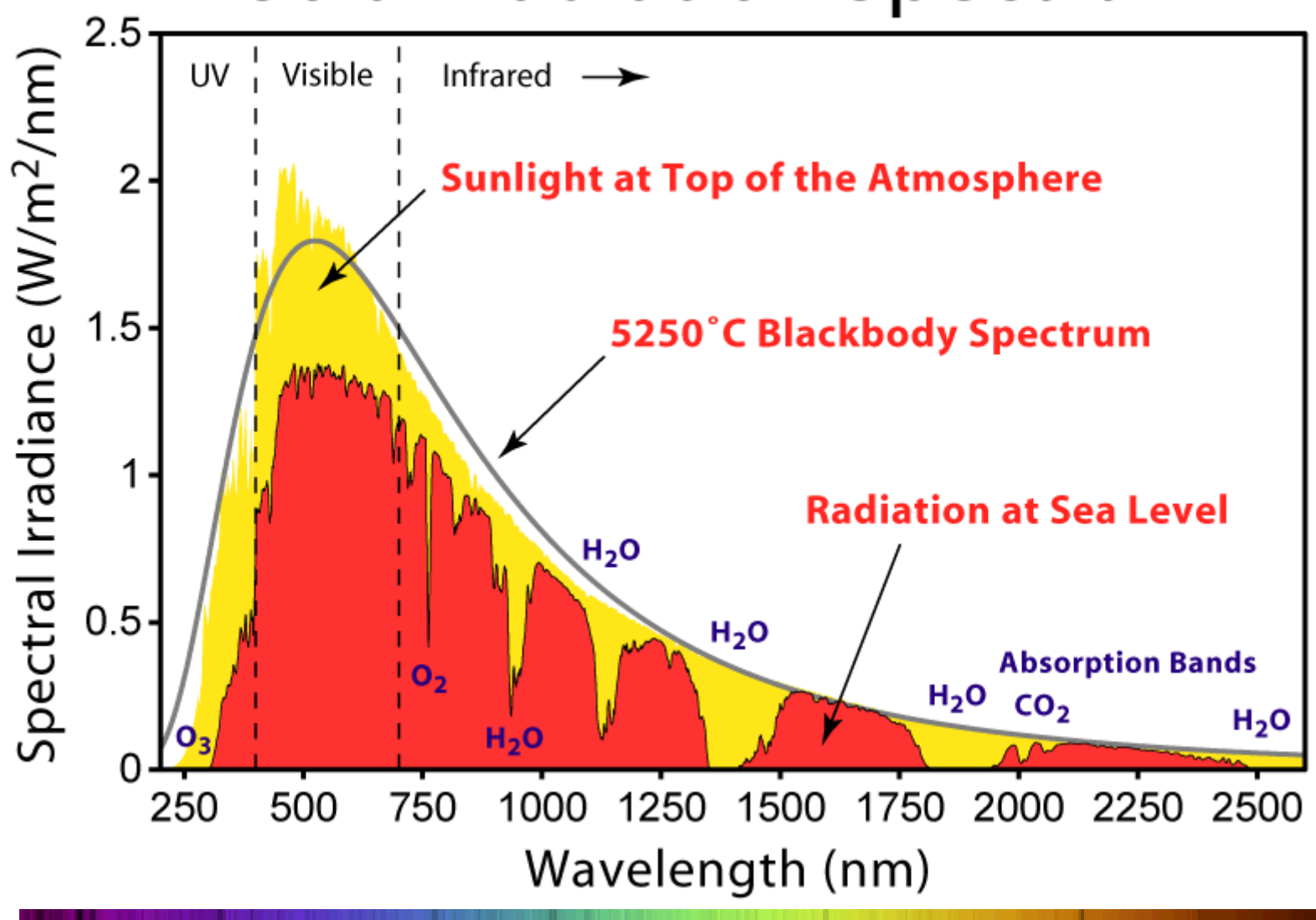
$$\frac{du}{d\lambda} = \frac{1}{L^3} \frac{dE}{d\lambda} = -kT \frac{1}{L^3} \frac{dN}{d\lambda} = \frac{8\pi kT}{\lambda^4}$$

Equipartizione dell'energia

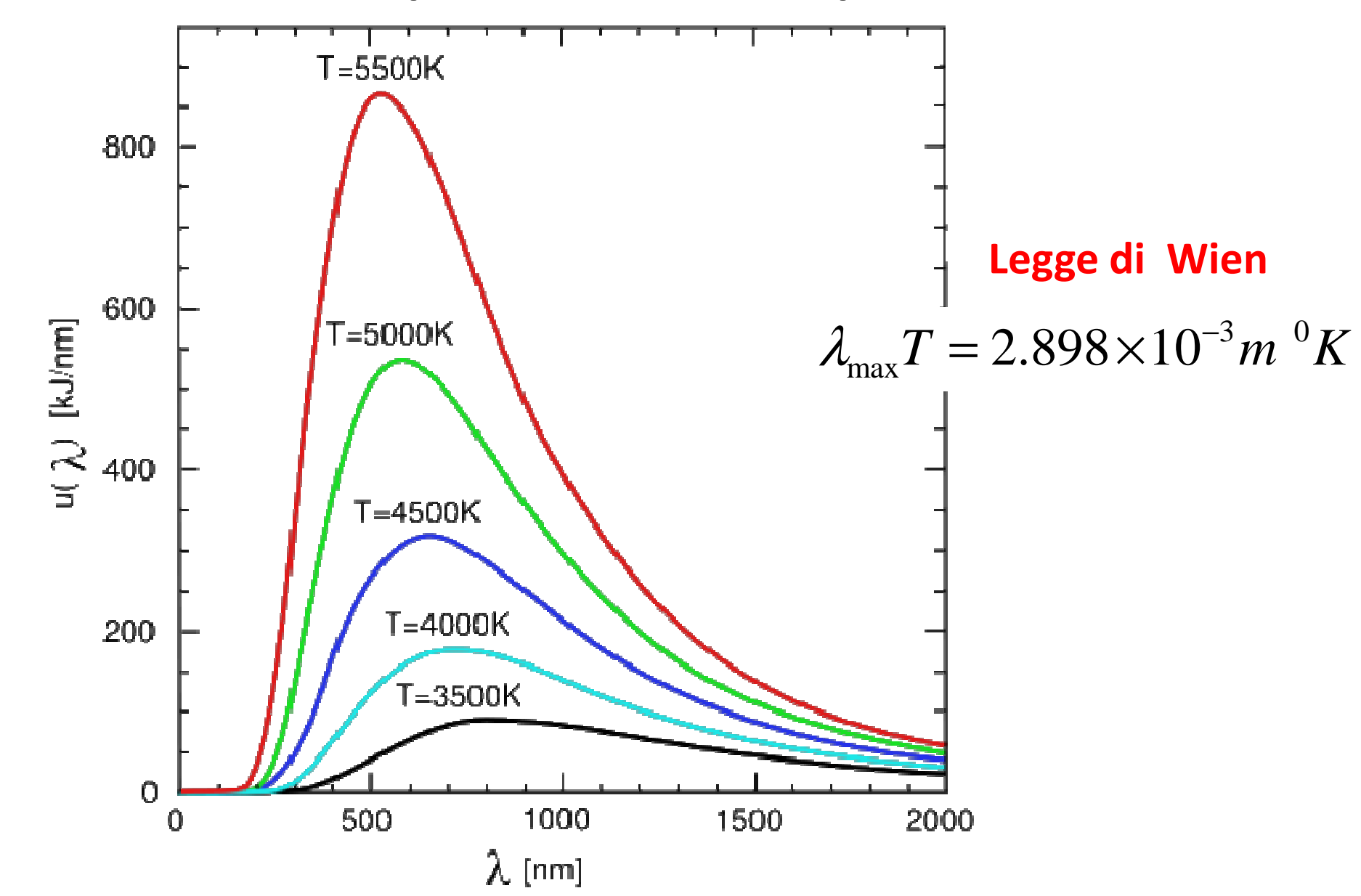
$$\frac{du}{dv} = \frac{du}{d\lambda} \frac{c}{v^2} = \frac{8\pi kT v^4}{c^4} \frac{c}{v^2} = kT \frac{8\pi v^2}{c^3}$$

Legge di Rayleigh - Jeans

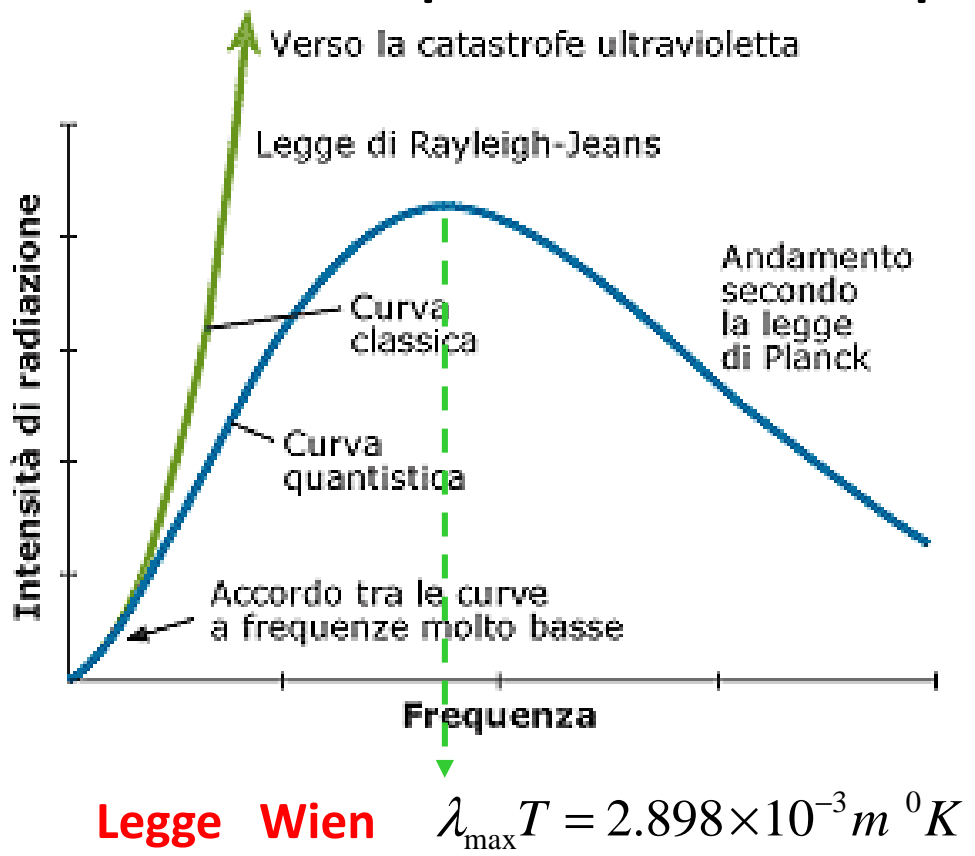
Solar Radiation Spectrum



Spettro di corpo nero



Spettro di Corpo Nero





$$\bar{E} = \frac{\int_{E}^{\infty} e^{-E/kT}}{\int_{e^{-E/kT}}^{\infty} (v) \approx v^2 T}$$

Ipotesi di Planck (1900): per ogni data frequenza, il sistema materiale può scambiare con la radiazione **multipli interi** di un quarta fondamentale.

http://hyperphysics.phyastr.gsu.edu/hbase/hframe.html

$$\Delta E = h \nu \qquad \Rightarrow \langle \varepsilon \rangle (\nu) \approx \frac{h \nu^3}{e^{\frac{h \nu}{k_B T}} - 1}$$

Statistica Boltzmann



L'effetto Fotoelettrico

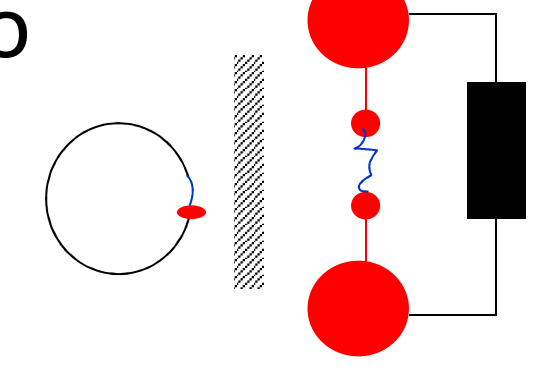
Quarzo

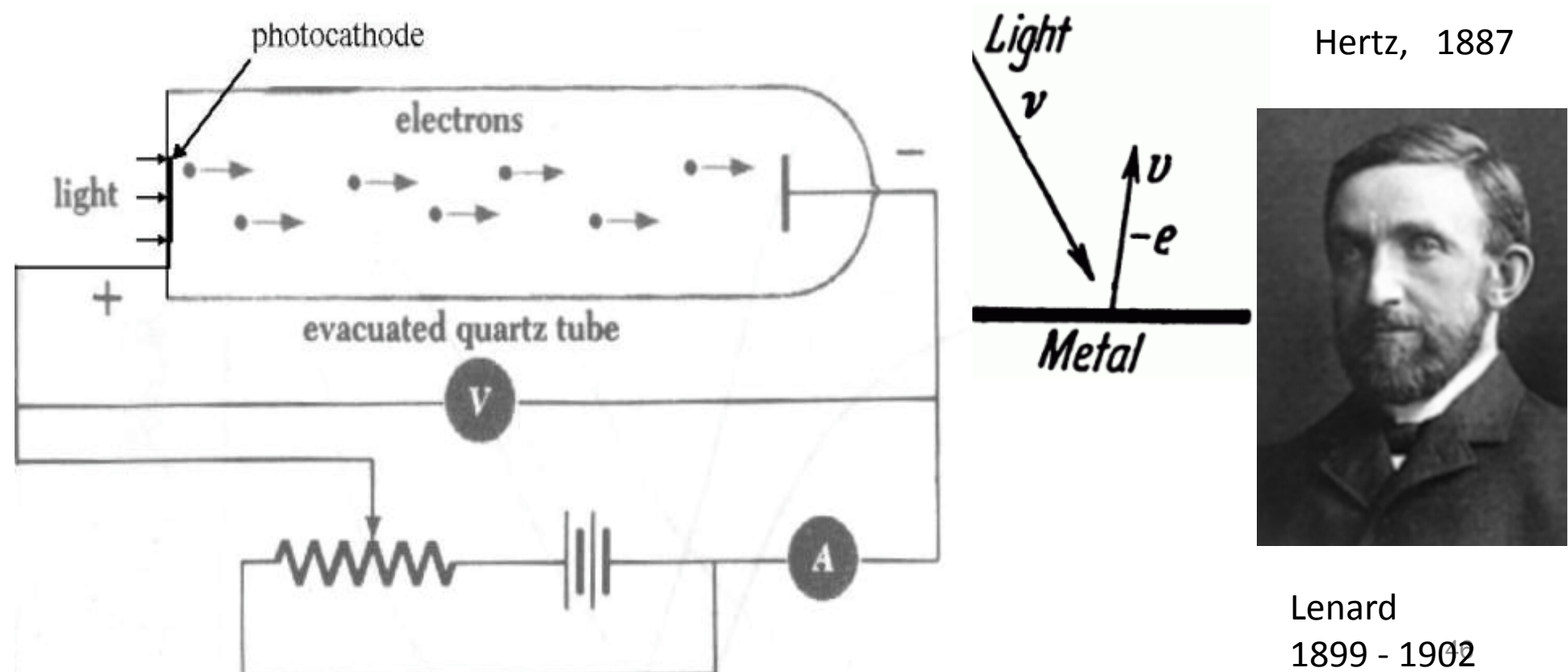
Gesso SI

Vetro Ridotta

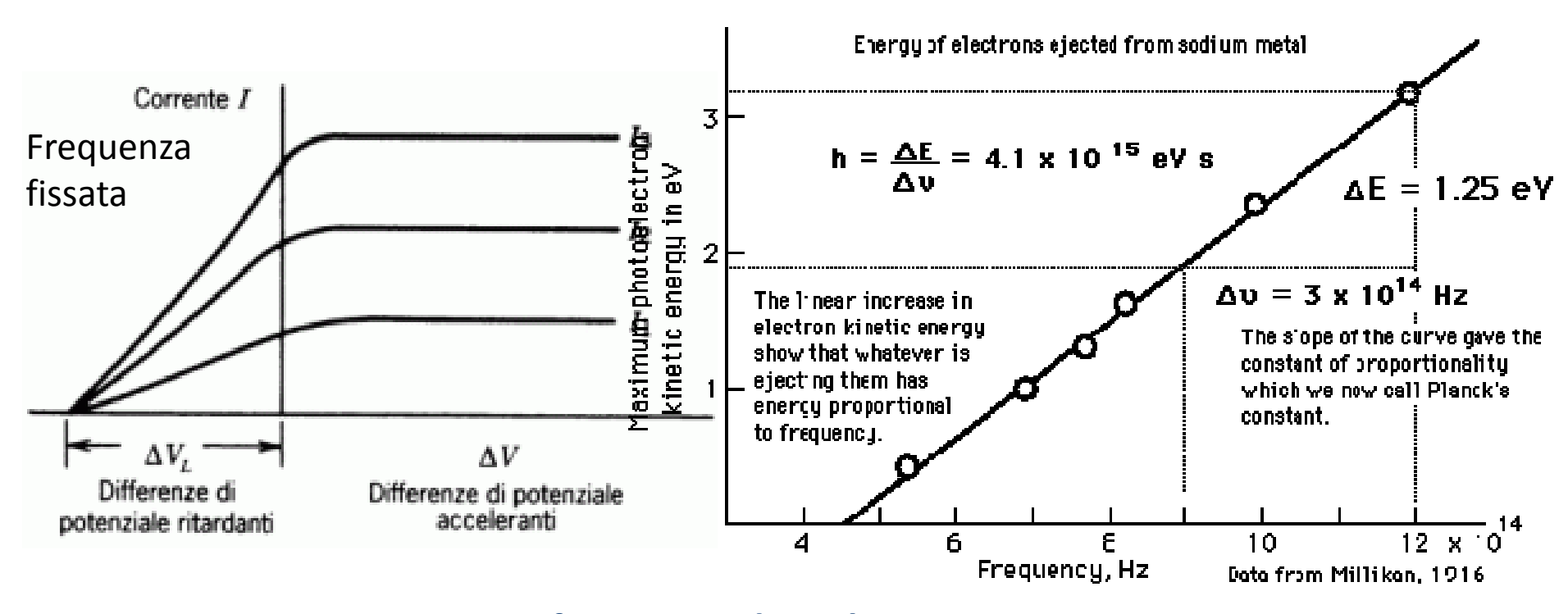
SI

Legno Nulla





Relazioni caratteristiche dell'effetto fotoelettrico



- •Solo luce con frequenza > frequenza di soglia produce una corrente
- •La corrente è attivata in tempi < 10-6 s
- •L'azione "puntuale" della luce incidente
- Proporzionalita' tra corrente e intensità luminosa incidente
- •Il potenziale di arresto è proporzionale alla frequenza della luce incidente

L'idea di Einstein



Nel 1905 Albert Einstein assunse l'ipotesi di Planck che la radiazione incidente è costituita da pacchetti ("quanti") di energia

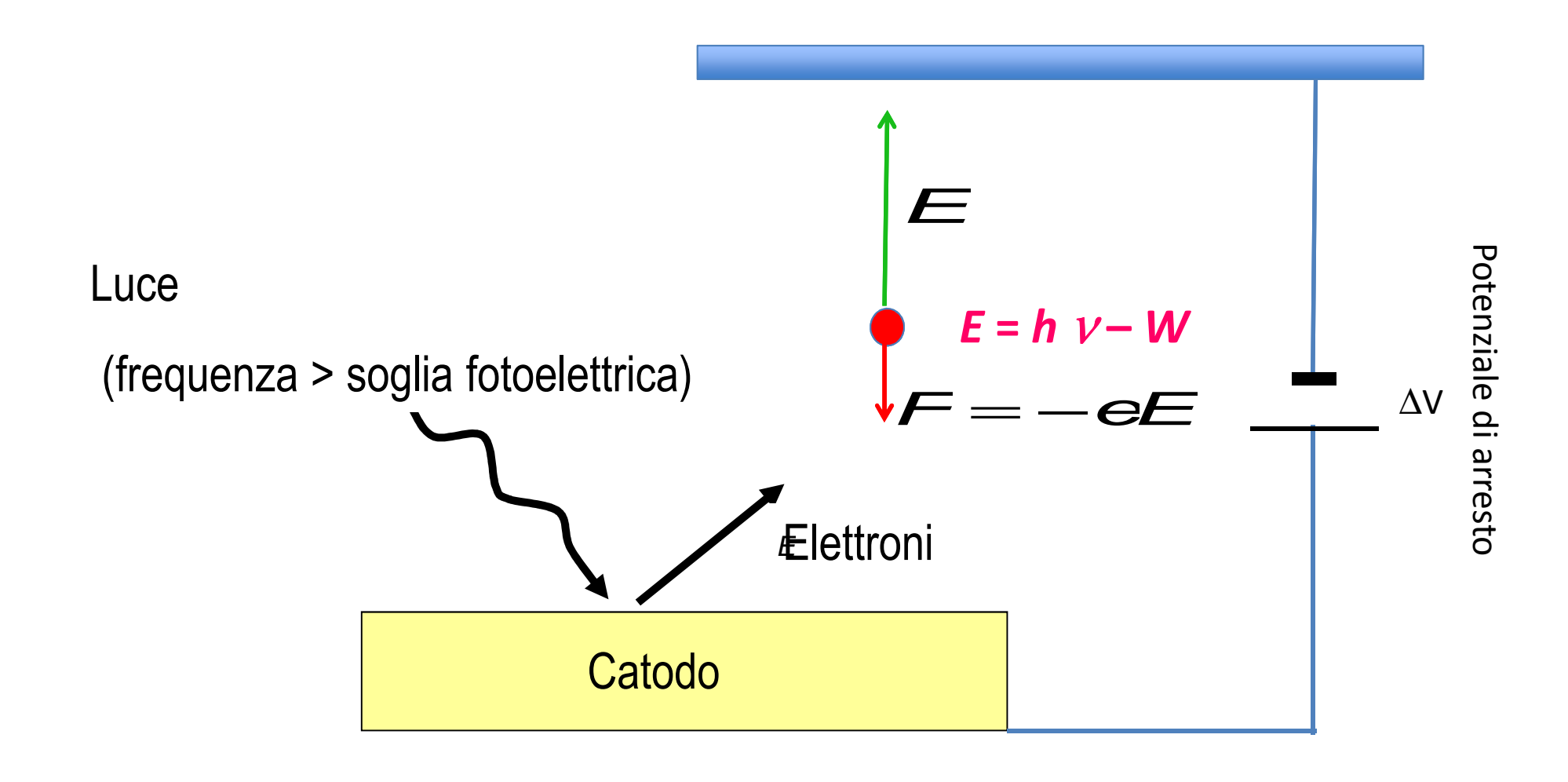
$$E = hv$$

dove v e` la frequenza e h e` una costante (costante di Planck).

Nella fotoemissione, uno di questi quanti di energia viene assorbito da un elettrone del fotocatodo, ed emesso con energia

$$E = hv - W$$

dove l'energia minima necessaria ad estrarre l'elettrone, chiamata "lavoro di estrazione ", si è indicata con W.



Affinché l'elettrone emesso riesca a raggiungere l'anodo a potenziale di arrresto pari a $-\Delta V$, rispetto al catodo emettitore, deve possedere una energia a $E=e\Delta V$.

$$e \Delta V = E = h \nu - W$$



$$\Delta V = h/e \ v - W/e$$

i Fotoni!

Elettromagnetismo

 $p = \frac{E}{D}$

 \mathcal{C}

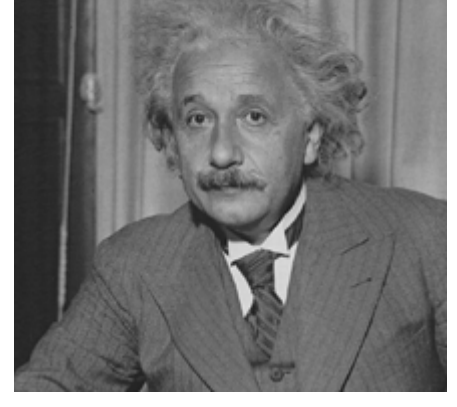
Einstein (1905)

Planck

$$E = h \nu$$
,

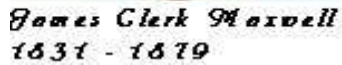
$$p = \frac{n}{\lambda}$$



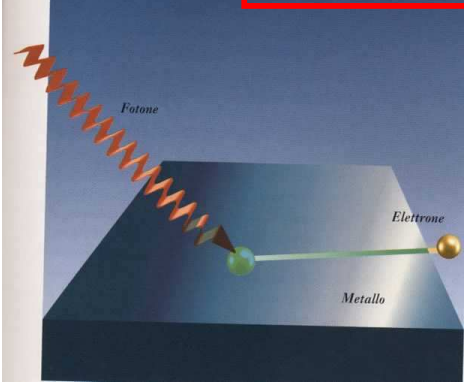


Relazioni Planck - Einstein



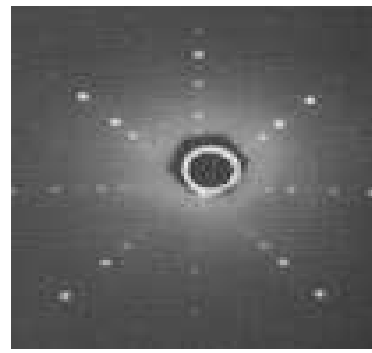


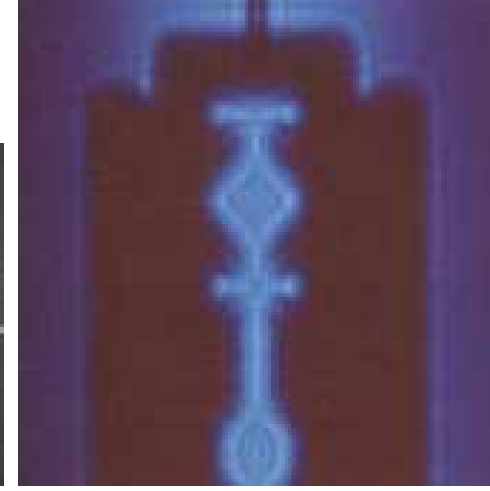




$$E^2 - p^2 c^2 = m_0^2 c^4$$

$$m_{fotone} = 0$$





Invariante

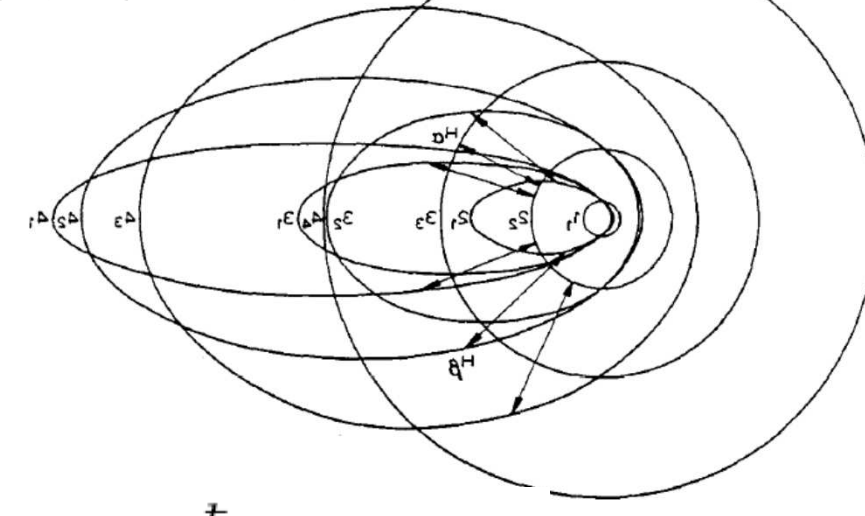
Relativistico





Modell Atomico di Bohr





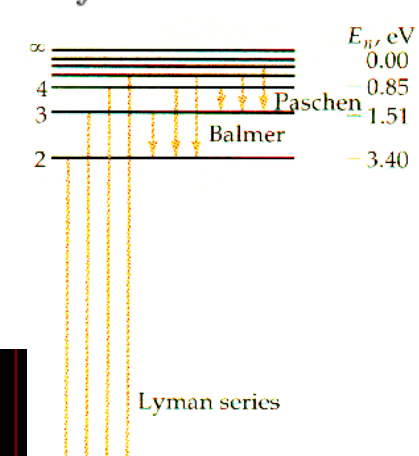
$$L = n \, \hbar \implies m \, v \, r = n \, \hbar \implies r = \frac{n \, \hbar}{m \, v} \qquad n \in \mathbf{Z}_{>}$$



Formula di Balmer

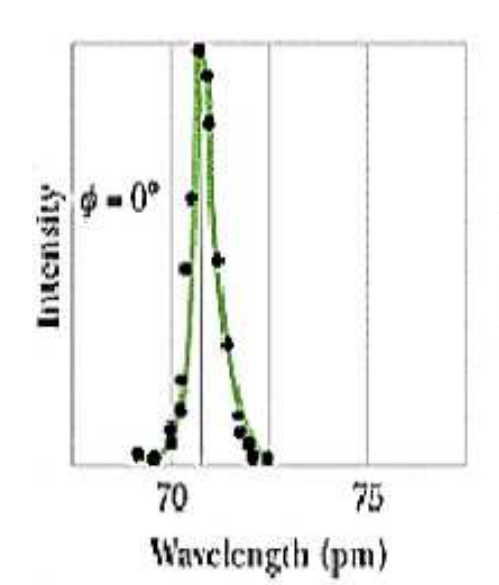
$$\frac{1}{\lambda} = R(\frac{1}{2^2} - \frac{1}{n^2}) \quad n = 3, 4, \dots$$

$$\frac{1}{\lambda} = R(\frac{1}{2^2} - \frac{1}{n^2}) \quad n = 3, 4, \dots \qquad \nu = N^2 K \left(\frac{1}{n''^2} - \frac{1}{n'^2} \right).$$



(1923)

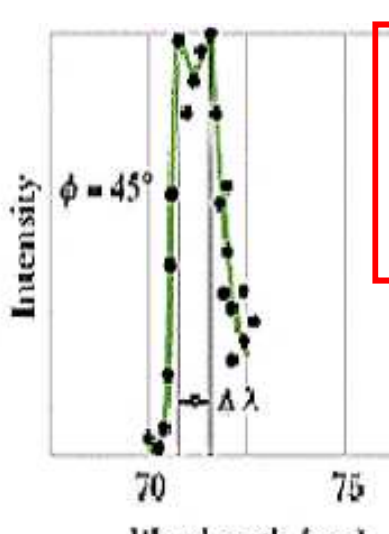
Effetto Compton

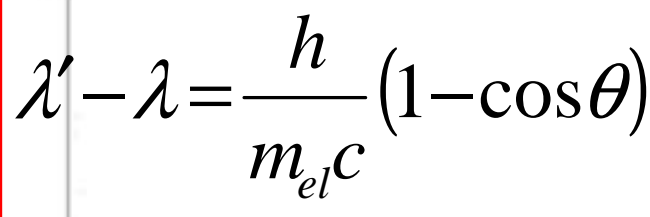


75

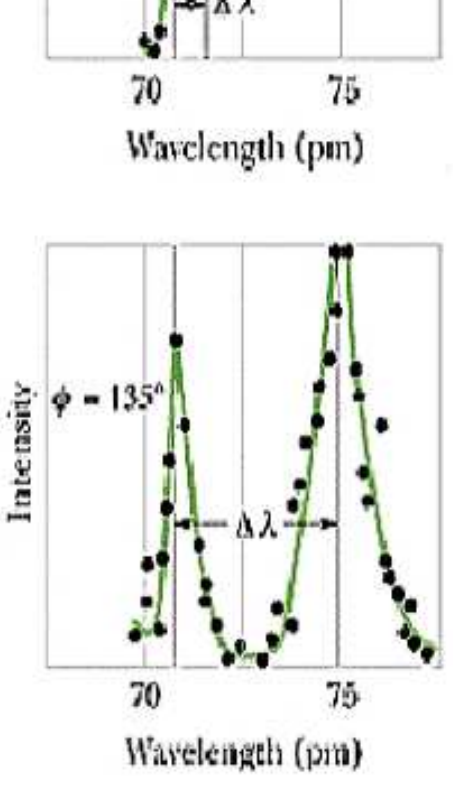
Wavelength (pm)

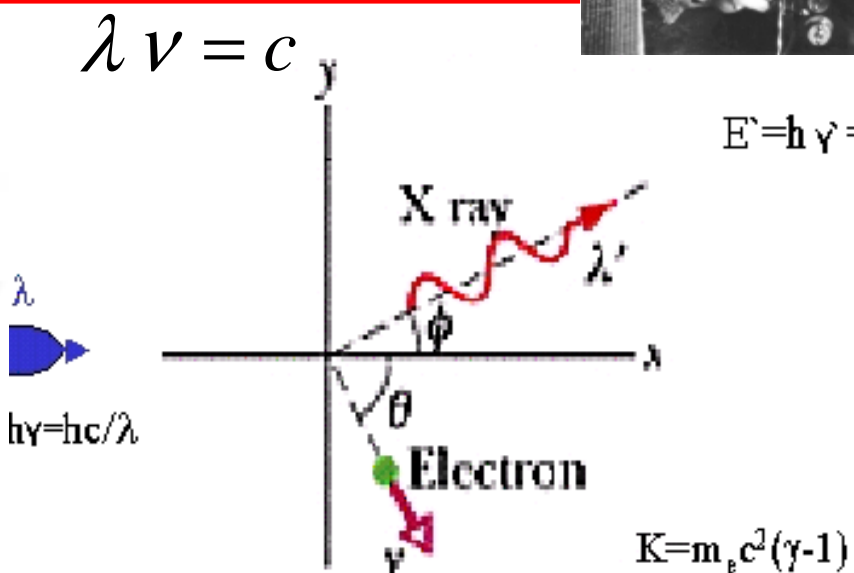
Intensity





•Cons. dell'energia





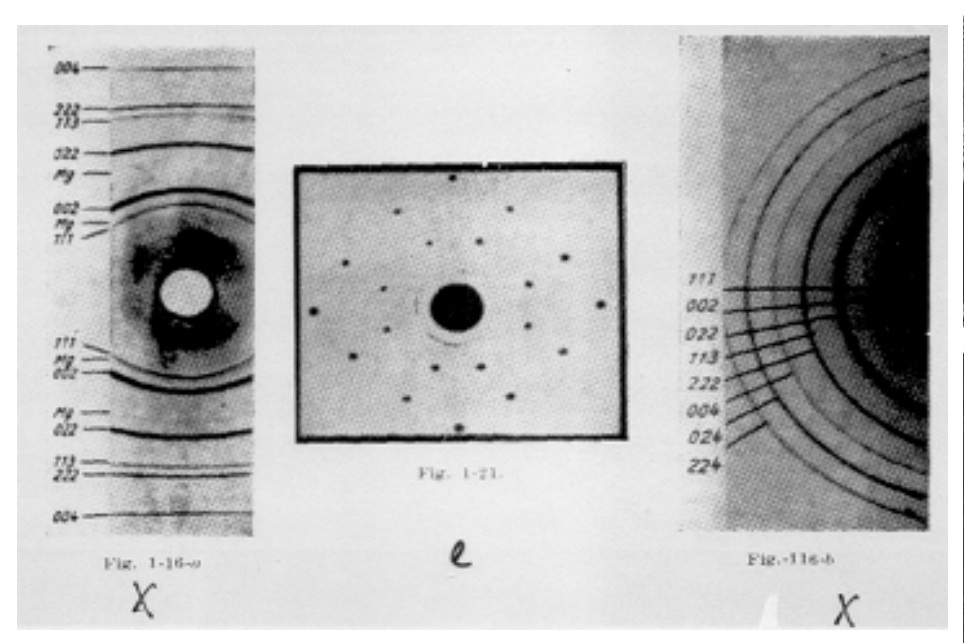
E = E' + K

•Cons. Quantità di moto $p_x = p_x + p_e$

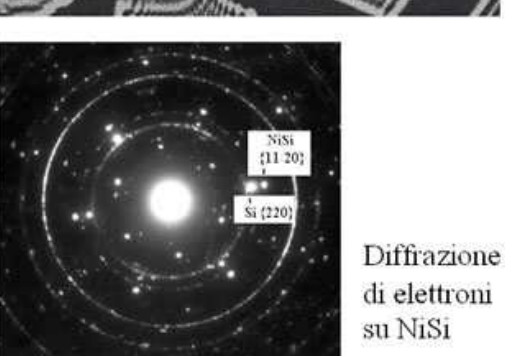
 $E=h = hc/\lambda$

$$p_X = \frac{h}{\lambda}, p'_X = \frac{h}{\lambda'}, p_{el} = \gamma m_{el} v$$

Diffrazione di luce e di particelle

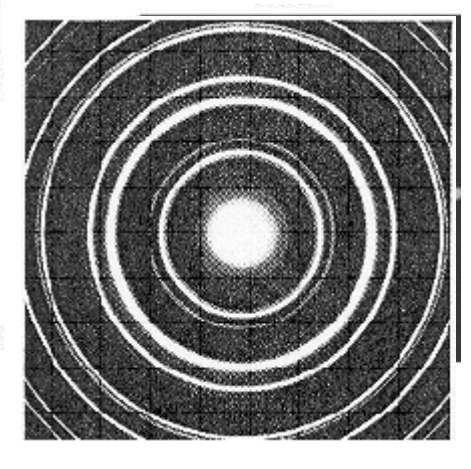






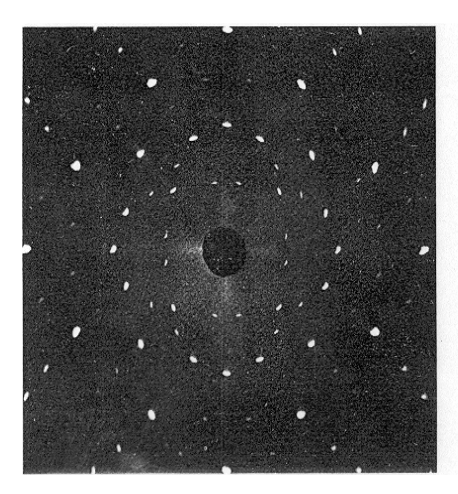
Diffrazione di elettroni su cristalli di ossido di Zn (Fresnel)

Elettroni su Au policristallino

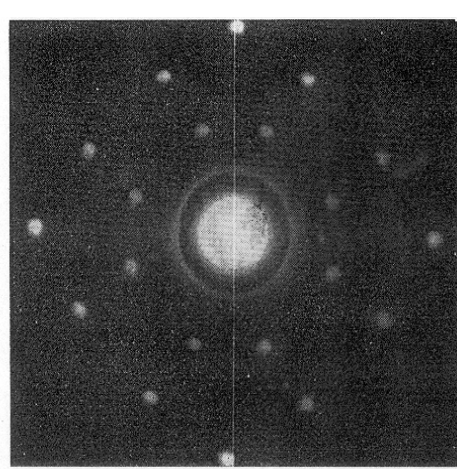


 $\frac{e}{A} = \frac{n}{r^2} - \frac{r^2}{2d \sin \theta} = n\lambda$

Diffrazione di Bragg



Raggi X su un monocristallo di NaCl



Neutroni termici su un monocristallo di NaCl

Diffrazione di singolo fotone

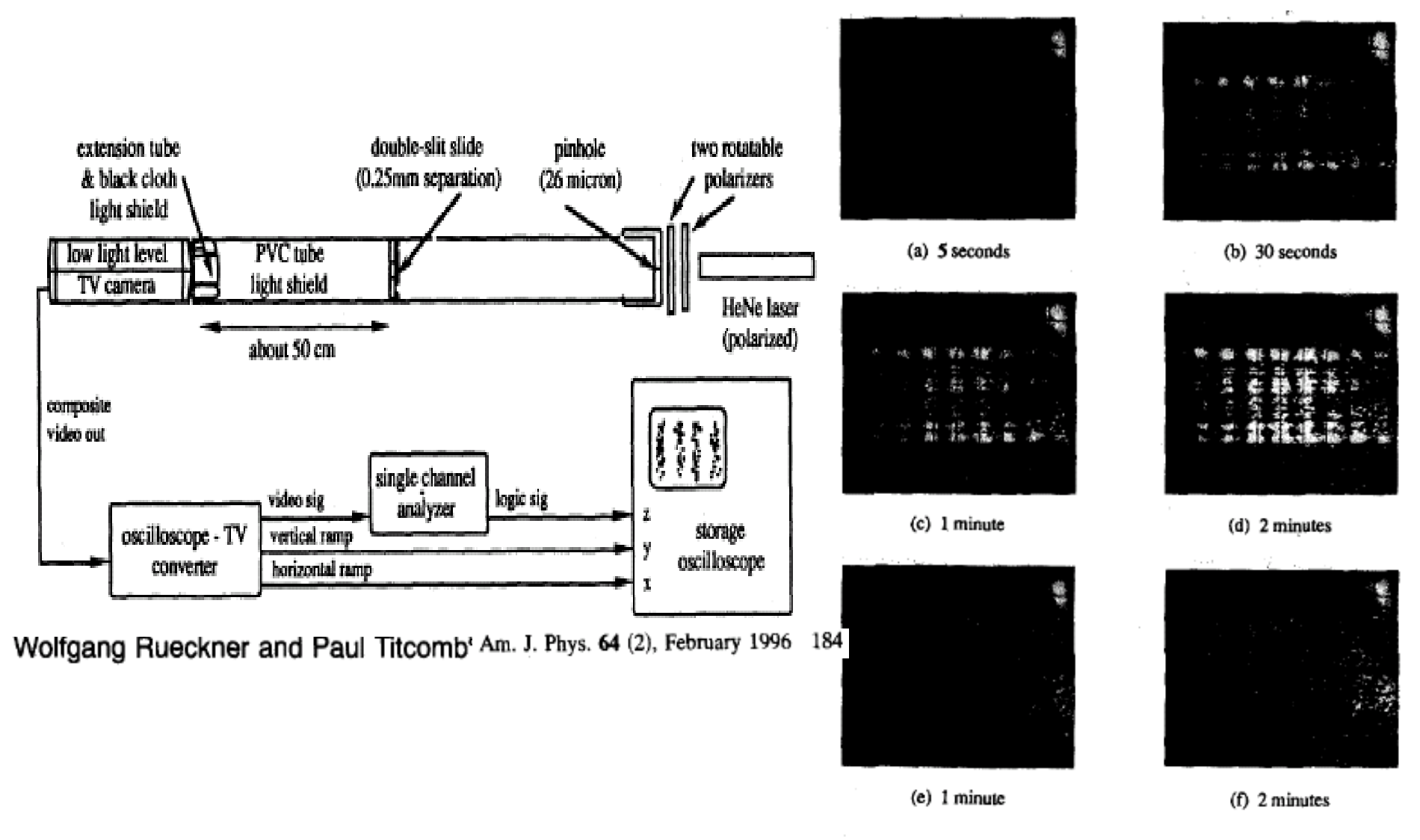
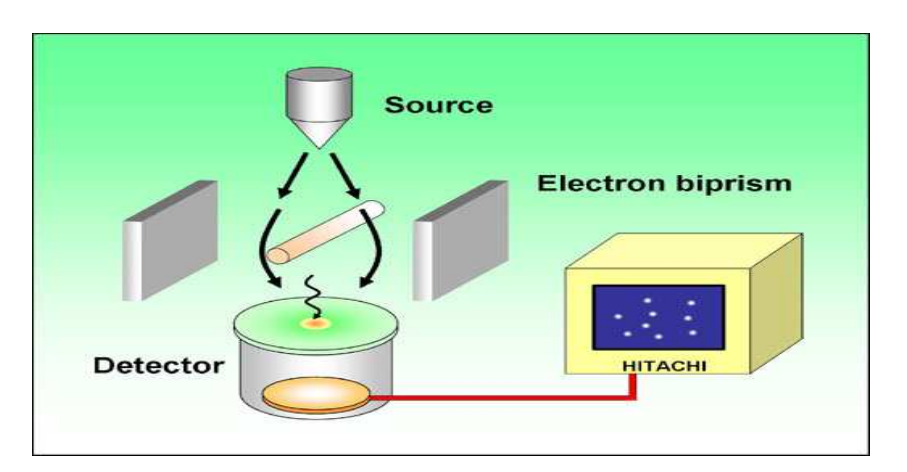
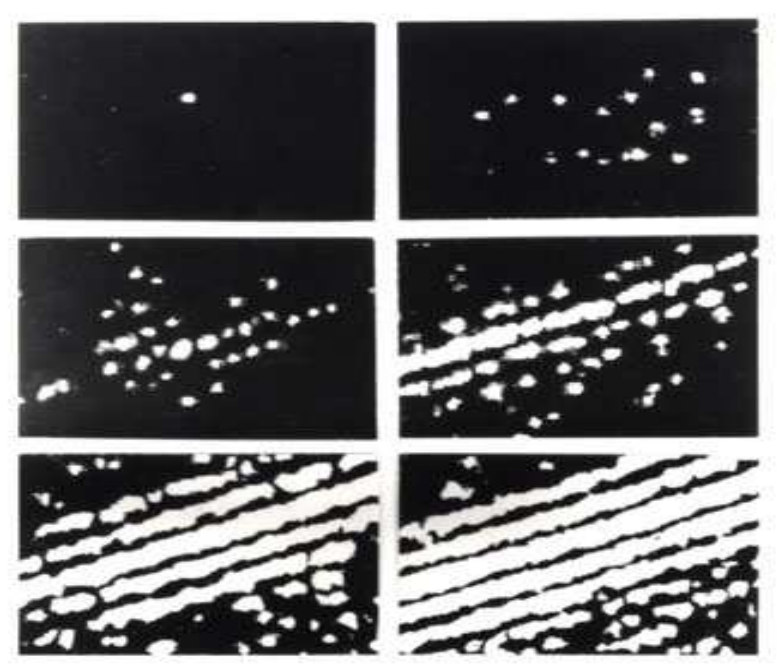
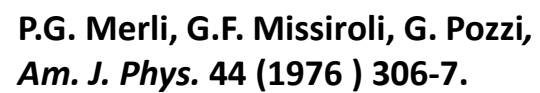


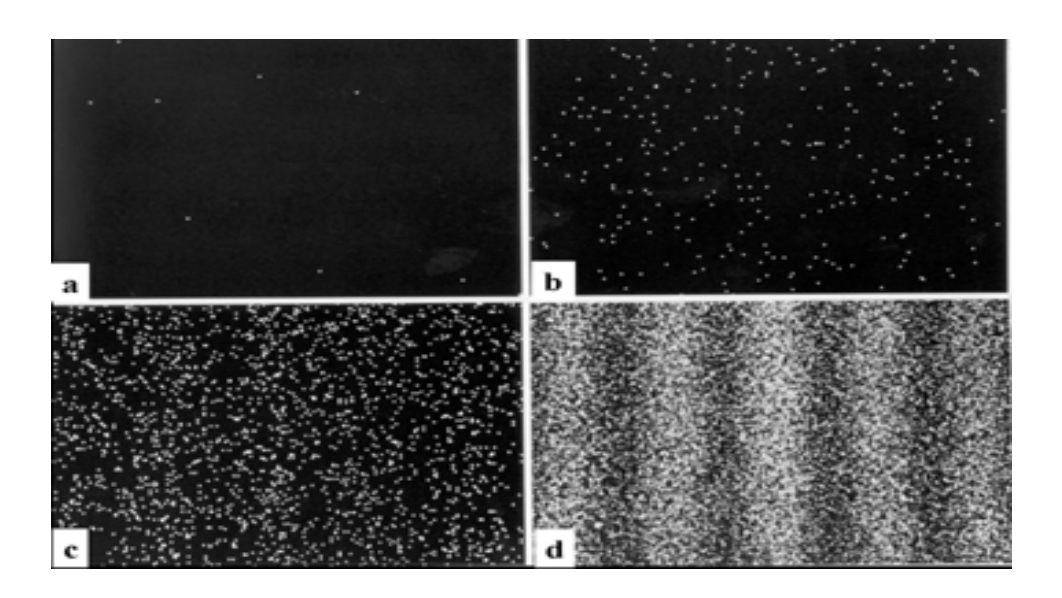
Fig. 2. Photographs of the storage oscilloscope display. (a)-(d) The accumulation of the double slit events; (e) one slit open followed by (f) the other slit open.

Elettrone su doppia fenditura









http://physicsweb.org/articles/world/15/9/1/1

Complementarietà onda-corpuscolo

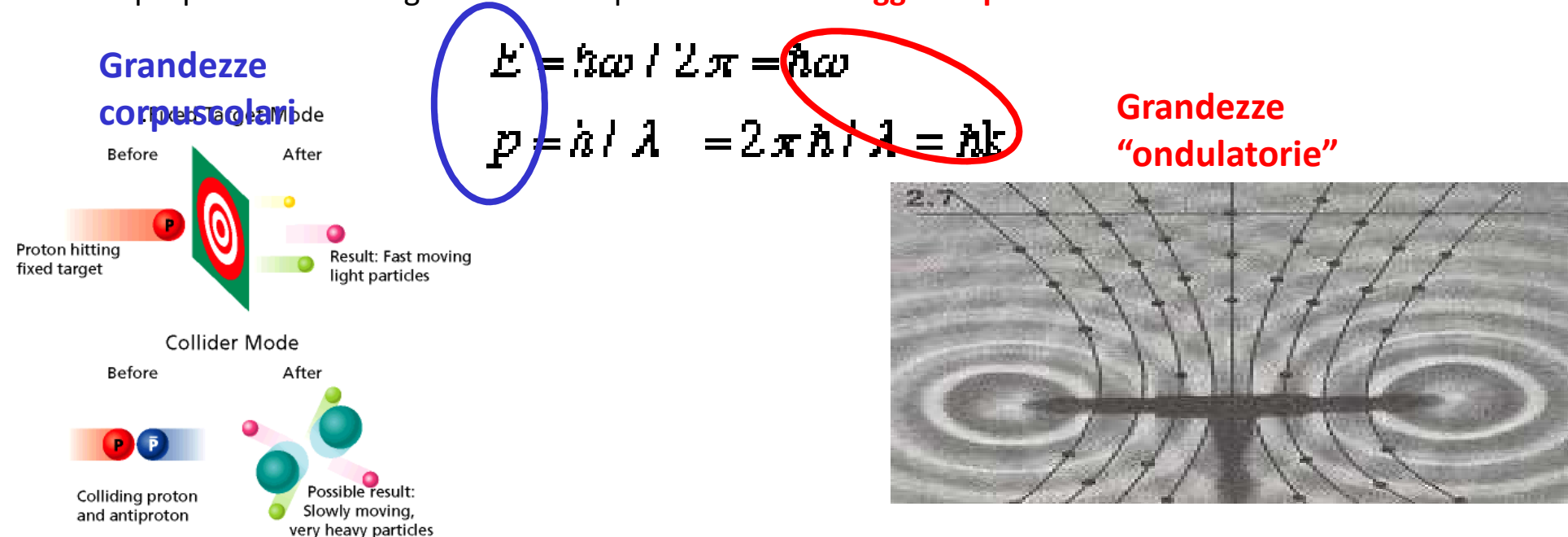
• La Fisica possiede una* "costante di scala" universale: il quanto d'azione

$$h = 6.626068 \times 10^{-34} \text{ m}^2 \text{ kg / s}$$

 $\hbar = h/2\pi$

determina la granularità intrinseca della natura,

• Complementarietà e Relazioni di Planck – Einstein – de Broglie: proporzionalità fra grandezze complementari di un oggetto quantistico



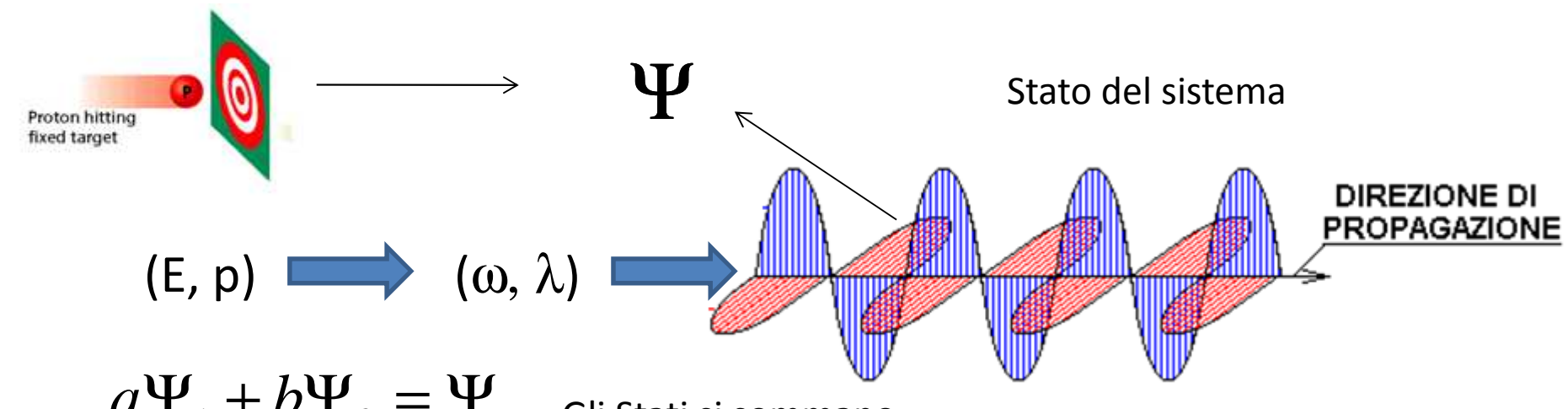
- •Altre scale universali:
- c = 299 792 458 m s⁻¹
- $\alpha = 0.00729735$
- M_{Planck} = 1.3 x 10¹⁹ GeV

Velocità della luce

Cost. Struttura Fine

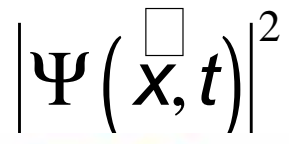
Massa di Planck

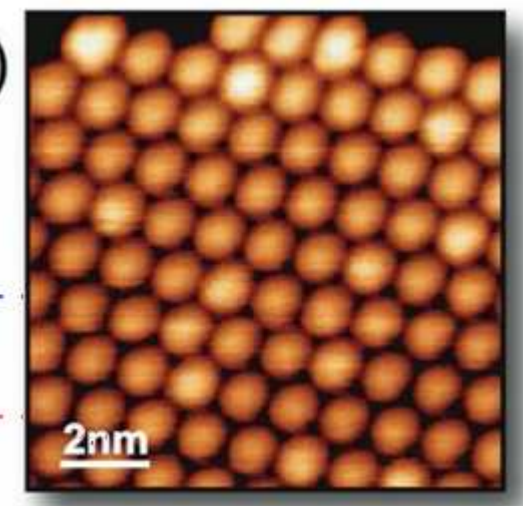
Onde e Probabilita'



$$a\Psi_1 + b\Psi_2 = \Psi$$

Gli Stati si sommano



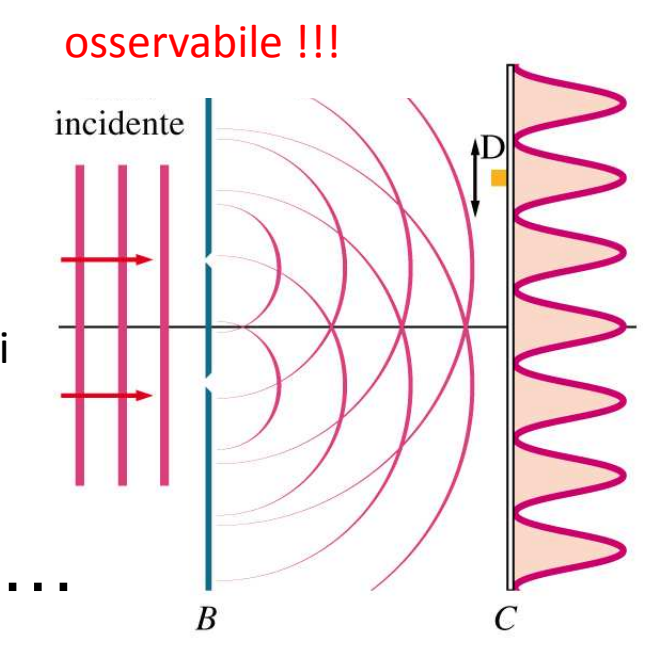


Densita' di **<u>Probabilita'</u>** di presenza in $\overline{\mathbf{X}}$

In generale:

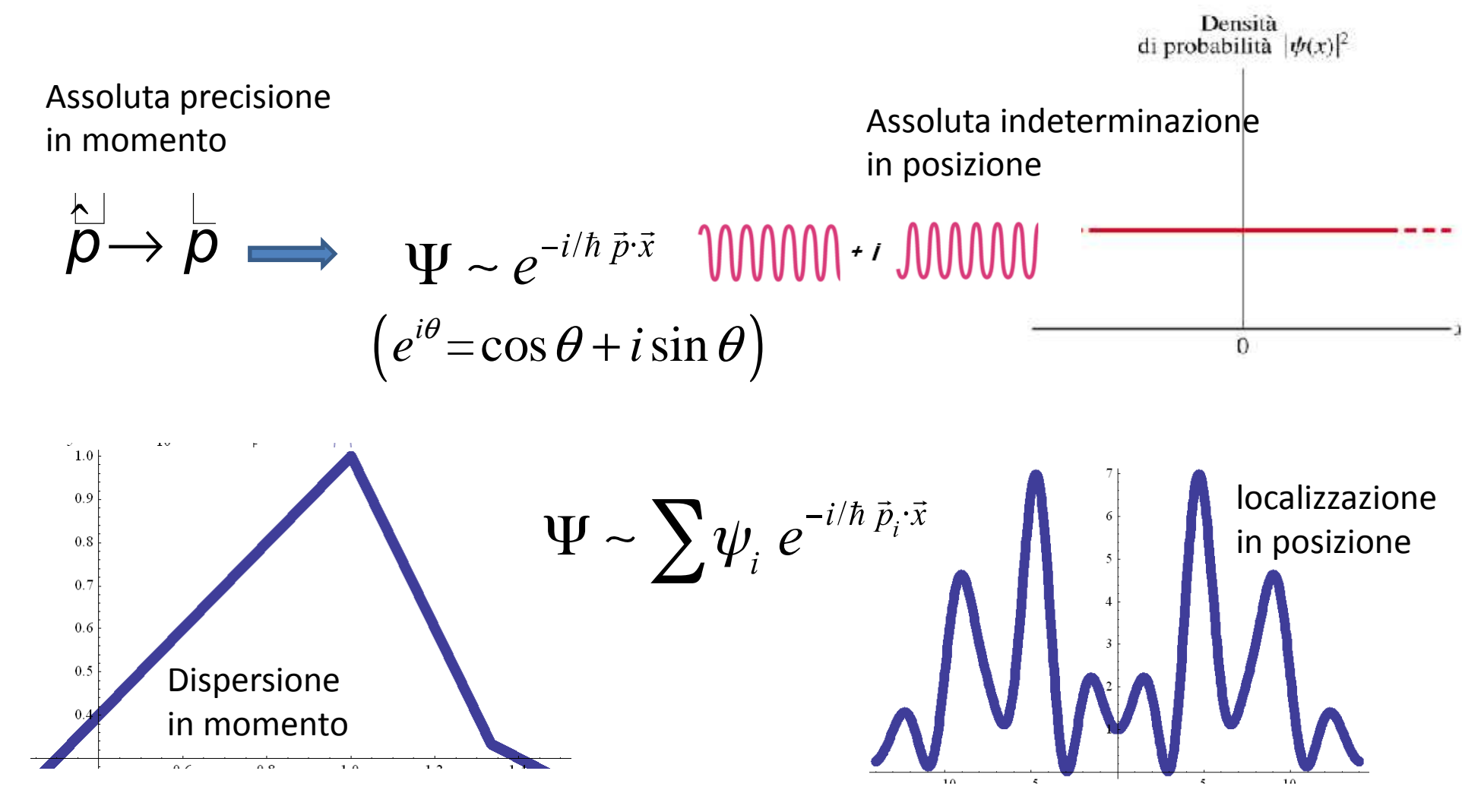
lo stato di un sistema e' l'insieme di delle distribuzioni di probabilita' dei possibili **OSSFRVABILI**

$$\stackrel{\sim}{x} \stackrel{\sim}{p} \hat{E}, \stackrel{\sim}{L}, \stackrel{\sim}{S}, \dots$$



Osservabili incompatibili

Le distribuzioni di probabilita' di differenti osservabili dinamiche <u>possono essere correlate</u> e in generale **non** possono essere scelte indipendentemente le une dalle altre



Principio di indeterminazione di Heisenberg

$$\Delta x \cdot \Delta p_x \ge h/2$$
 dove $h = h/2\pi$
 $\Delta y \cdot \Delta p_y \ge h/2$ (principio di indeterminazione di Heisenberg)
 $\Delta z \cdot \Delta p_z \ge h/2$

Come esempio, Δx e Δp_x rappresentano le incertezze **intrinseche** nelle misure delle componenti di r e di p lungo x.

Equazione di Schroedinger

Una particella in moto lungo l'asse x attraverso una regione in cui le forze agenti sulla particella le conferiscono un'energia potenziale V(x) si ha:

$$\frac{\Box^2}{2m}\frac{d^2\Psi}{dx^2} + \left[E - V(x)\right]\Psi = 0$$

in cui *E* è l'energia meccanica totale della particella in moto.

Se V(x) è nullo, l'equazione descrive una particella libera,

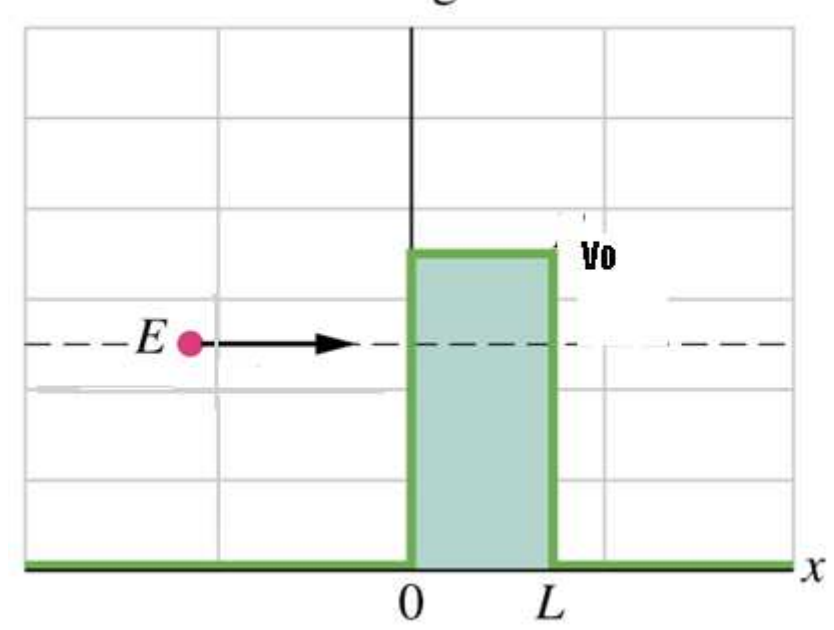
$$\frac{d^2\psi}{dx^2} + \frac{2m}{\square^2} \left(\frac{mv^2}{2}\right) \psi = 0 \longrightarrow \frac{d^2\psi}{dx^2} + \left(\frac{p}{\square}\right)^2 \psi = 0 \longrightarrow \psi \sim e^{\pm i/\hbar \vec{p} \cdot \vec{x}}$$

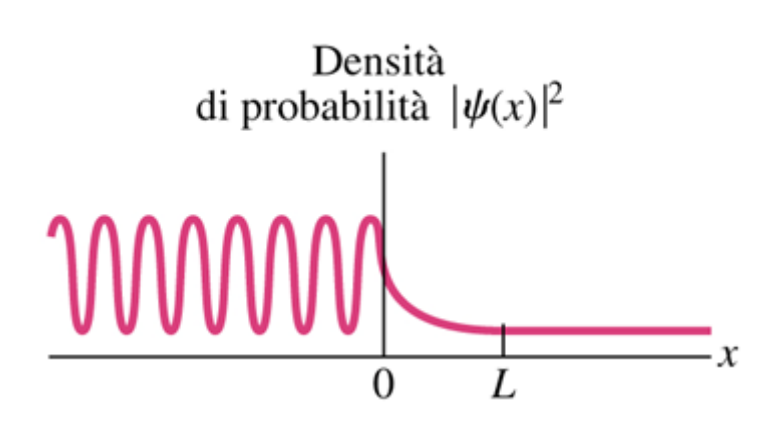
Effetto tunnel

Nella Meccanica Quantistica per una particella in moto con energia totale $E < V_0$ esiste una probabilità finita che l'onda di probabilità' *penetri* attraverso la barriera e giunga dall'altra parte.

Questo fenomeno prende il nome di effetto tunnel.





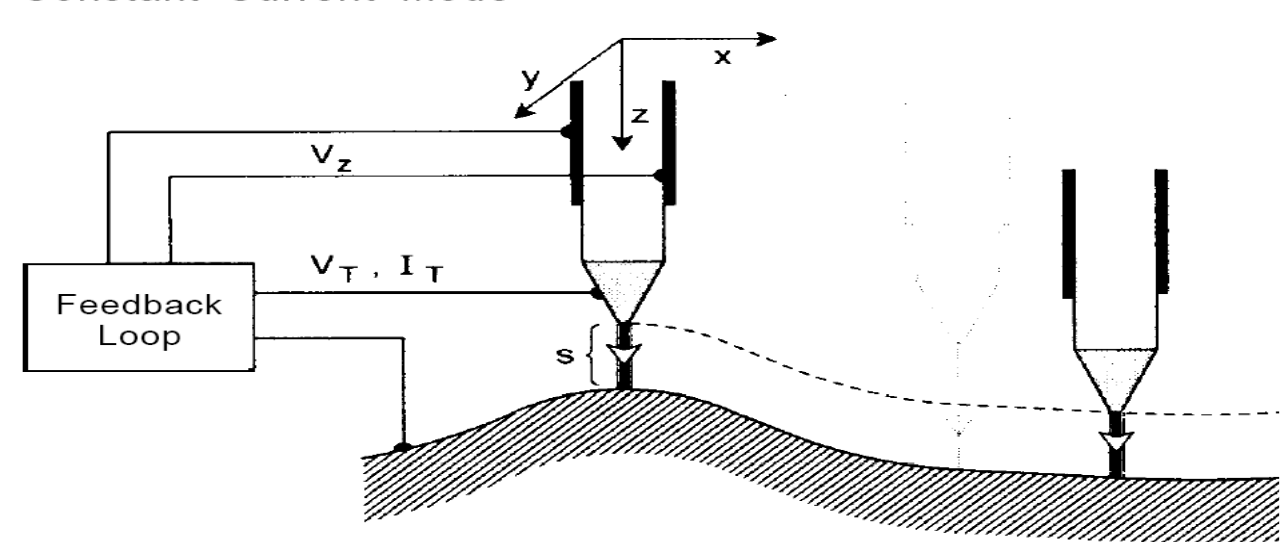


Coefficiente di trasmissione

$$T \approx e^{-2bL}$$
 $b = \sqrt{\frac{8\pi^2 m(U_b - E)}{h^2}}$

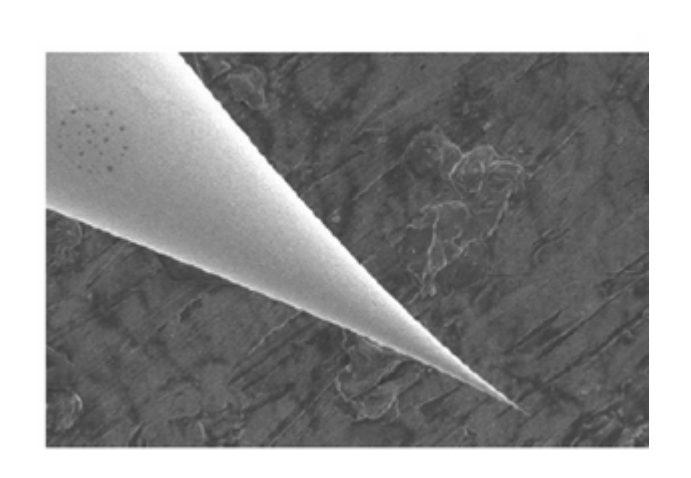
G. Binnig, H. Rorher Nobel 1986

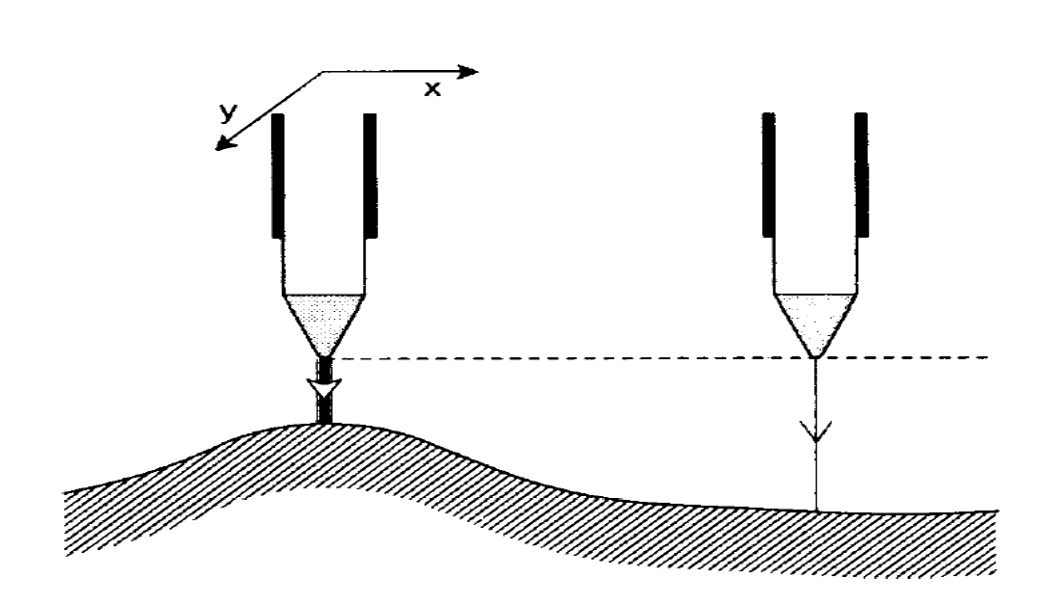
Constant Current Mode



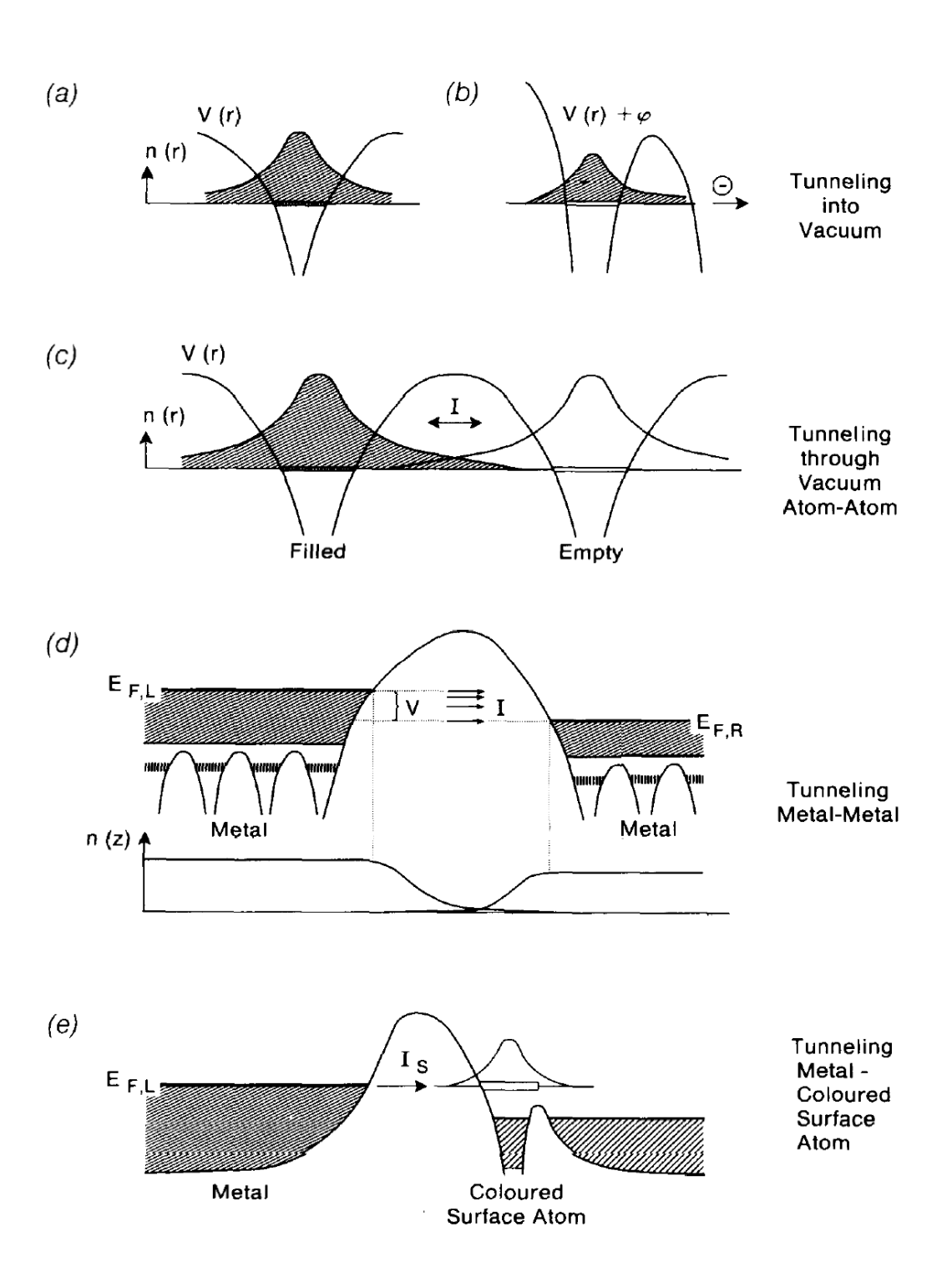
$$V_z (V_x, V_y) \longrightarrow z (x, y)$$

Microscopio ad Effetto Tunnel





In I (
$$V_x$$
, V_y) $\longrightarrow \sqrt{\Phi} \cdot z (x, y)$



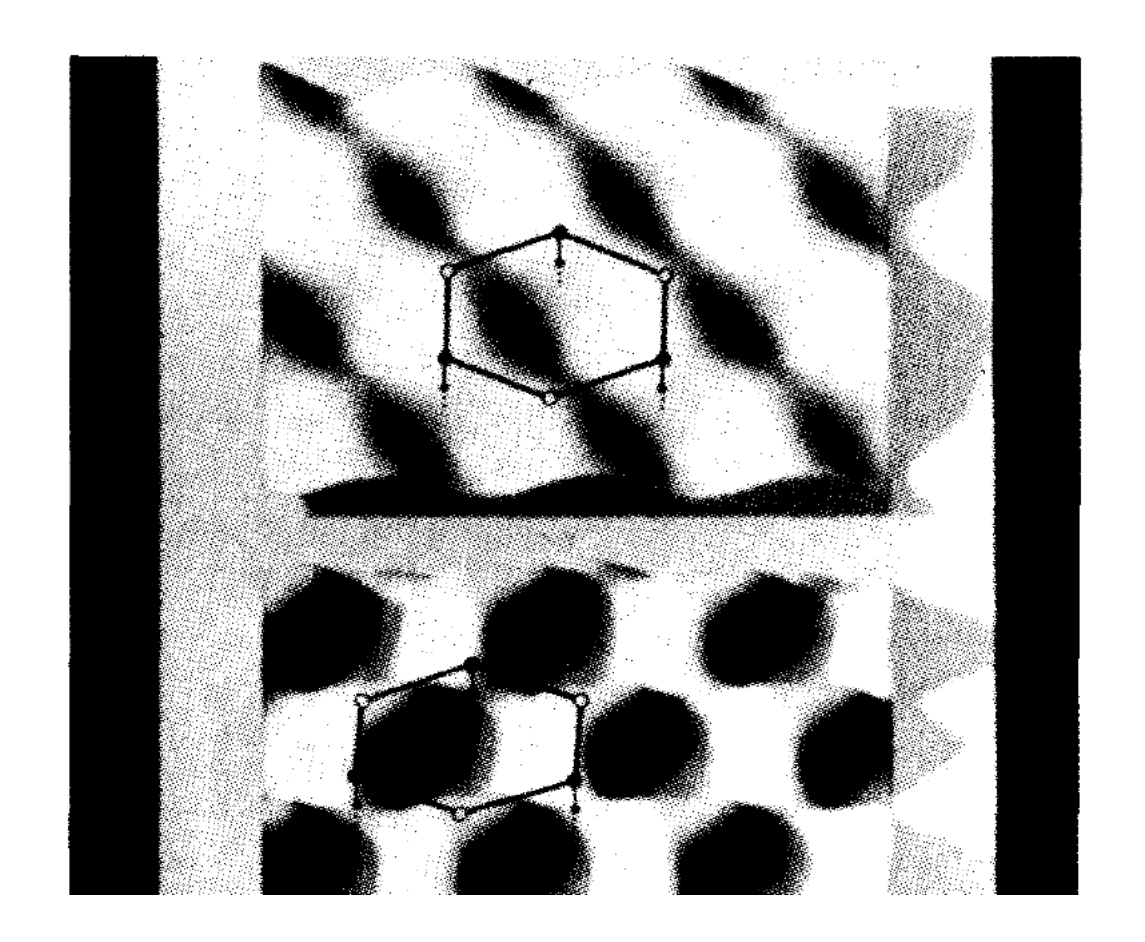
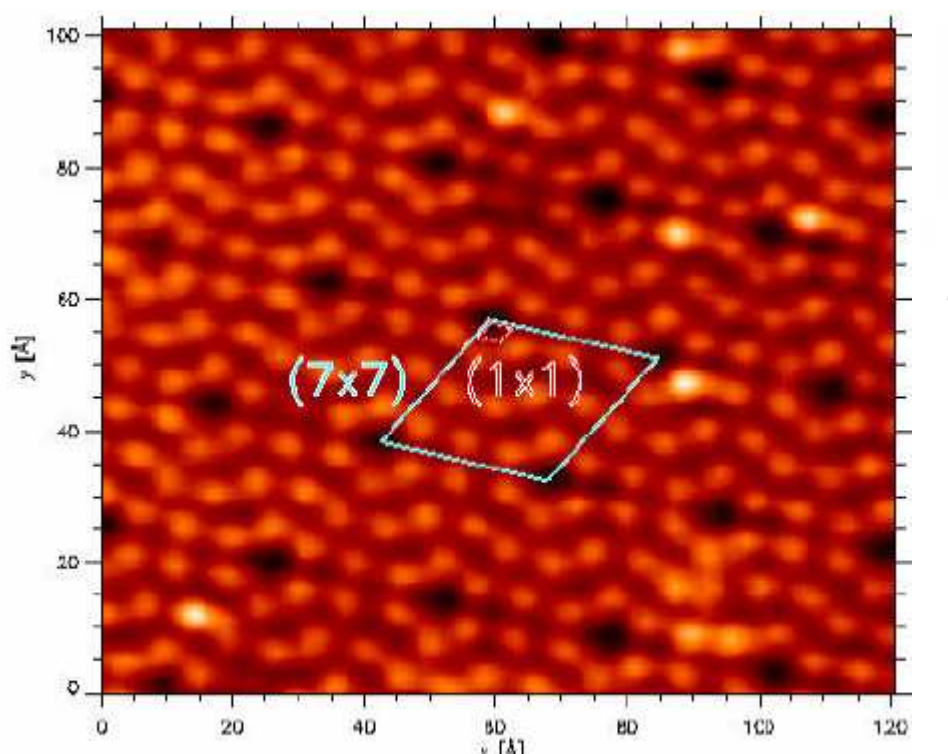
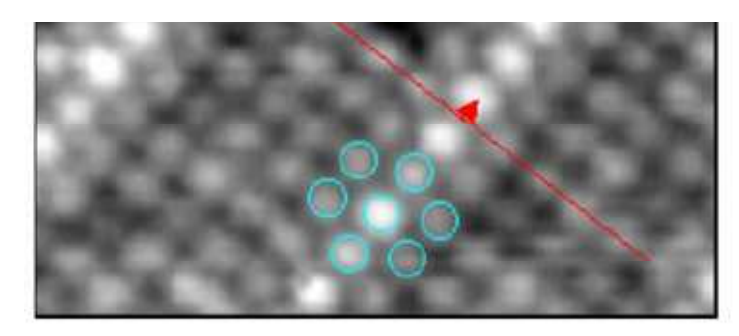


Fig. 7. STM image of cleaved graphite. The top image was taken at a constant tunnel current of 1 nA and at 50 mV. The corrugation traced by the tip reflects the local density of states (LDOS) at the Fermi level and *not* the positions of atoms, which form a flat honeycomb lattice as indicated. The LDOS at the atoms bound to the neighbors in the second layer (open circles) is lower than at the "free" atoms. The image is thus rather a spectroscopic than a topographic one. The middle image is a "current image" showing essentially the same pattern.



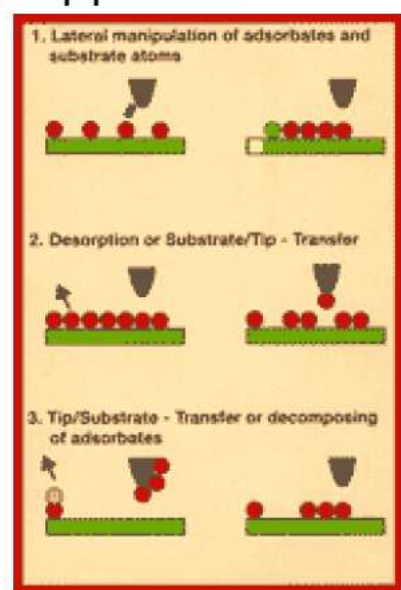
STM image Si(111)-7x7

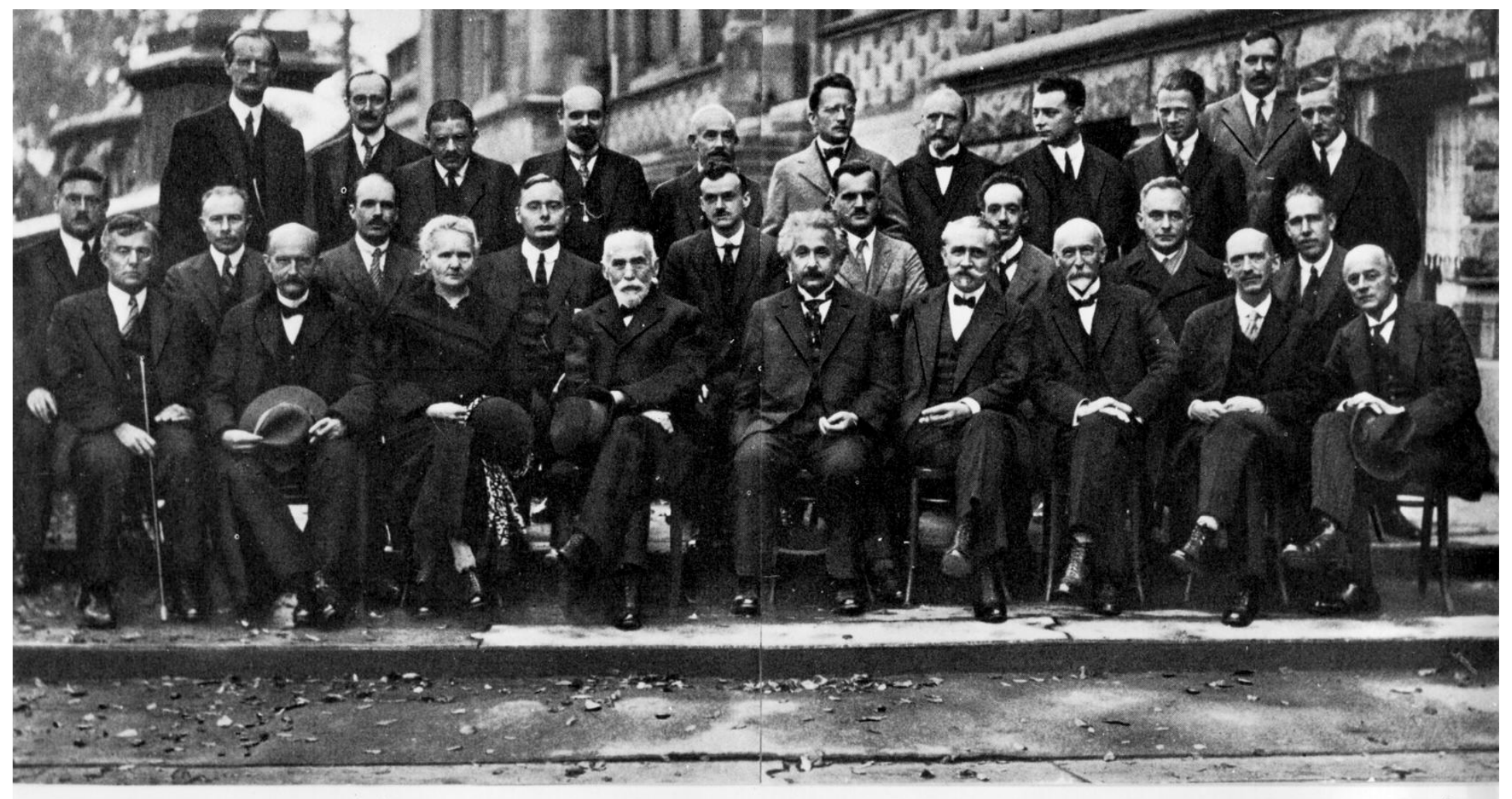
D.M. Eigler, E.K. Schweizer. Positioning single atoms with a STM. Nature 344, 524-526 (1990)



Further: **atom manipulation** (bottom-up approach







Photographie Benjamin Couprie

28, Avenue Louise, Bruxelles

R. H. FOWLER

A. PICCARD E. HENRIOT ED. HERZEN TH. DE DONDER E. SCHROEDINGER W. PAULI W. HEISENBERG L. BRILLOUIN

P, EHRENFEST E. VERSCHAFFELT

P. DEBYE

M. KNUDSEN W. L. BRAGG H. A. KRAMERS P. A.M. DIRAC A. H. COMPTON L.V. DE BROGLIE M. BORN N. BOHR

I. LANGMEIR M. PLANCK MADAME CURIE H. A. LORENTZ A. EINSTEIN P. LANGEVIN CH. E. GUYE C.T.R. WILSON

O.W. RICHARDSON



Noi sappiamo quale è il comportamento degli elettroni e della luce. Ma come potrei chiamarlo? Se dico che si comportano come particelle, dò un'impressione errata. Ma anche se dico che si comportano come onde. Essi si comportano nel loro proprio modo inimitabile che tecnicamente potrebbe essere chiamato il

"modo quanto meccanico".

Si comportano in un modo che non assomiglia a nulla che possiate aver mai visto prima. La vostra esperienza con cose che avete visto prima è incompleta. Il comportamento delle cose su scala molto piccola è

semplicemente diverso.

(R. P. Feynman)